

VYSOKÁ ŠKOLA STROJNÍ A TEXTILNÍ LIBEREC
NOSITELKA ŘÁDU PRÁCE

FAKULTA STROJNÍ
OBOR 23 - 40 - 8

KATEDRA TECHNICKÉ KYBERNETIKY

ZAMĚŘENÍ AUTOMATIZOVANÉ SYSTÉMY ŘÍZENÍ VÝROBNÍCH PROCESŮ
VE STROJÍRENSTVÍ

GRAFICKÝ VSTUP PŘI APLIKACI METODY KONEČNÝCH
PRVKŮ Souboru PMD 2 v podmírkách VŠST

KTK - ASŘ SF - 192

SPURA FRANTIŠEK

VEDOUCÍ PRÁCE : RNDr. KLÁRA CÍSAŘOVÁ
KONZULTANT : Ing. PAVEL JIRMAN

POČET STRAN 51
POČET PŘÍLOH 15
POČET OBRAZKŮ 7

2. června 1989

ZADÁNÍ DIPLOMOVÉ PRÁCE

(PROJEKTU, UMĚLECKÉHO DILA, UMĚLECKÉHO VÝKONU)

pro Františka Spura

obor 23-40-8 ASR výrobních procesů ve strojírenství

Vedoucí katedry Vám ve smyslu nařízení vlády ČSSR č. 90/1980 Sb., o státních závěrečných zkouškách a státních rigorózních zkouškách, určuje tuto diplomovou práci:

Název tématu: Grafický vstup při aplikaci metody konečných prvků
souboru PMD 2 v podmínkách VŠST

Zásady pro výpracování:

1. Seznámení se s teorií metody konečných prvků a teorií počítačové grafiky.
2. Seznámení se se systémem programů PMD 2 a jeho vstupních souborů.
Seznámit se s programovými prestředky počítačové grafiky pro generování sítí v ČKD Praha.
3. Aplikace systému generování sítí ČKD Praha v podmínkách VŠST, odzkoušení programů na konkrétním příkladě.

PRVOSKOLA STROJNÍ A TEXTILNÍ
Ústřední knihovna
LÍBEZEC 1, STUDENTSKÁ 6
PSČ 461 17

grafika
- architektura
- historie
- teorie

ASR-S/KTC

o výpočtu plošných prav

středních průvodcích zpráv: 40 - 50 stran

čítam odborné literaturu:

1. Valenta,J. a kol.: Novodobé metody výpočtu tuhosti a pevnosti ve strojírenství. SNTL, Praha 1975.
2. Drs,L.: Plochy ve výpočetní technice, SNTL, Praha
3. Dobiáš : Systém programů PMD 2. SVÚSS Běchovice.
4. Škoda, V.: Příprava vstupních údajů MKP, ČKD Praha.
5. Programová dokumentace.

Vedoucí diplomové práce: RNDr. Klára Císařová

Konzultant : Ing. Pavel Jirman

Datum zadání diplomové práce: 3.10.1988

Termín odevzdání diplomové práce: 2.6.1989



Doc.Ing.Vladimir Věchet, CSc.

Vedoucí katedry

Prof.Ing. Vladimír Prásil,DrSc.

Děkan

v Libereci 23.9. 88
dne 19.....

P r o h l á š e n í

Místopřísežně prohlašuji, že jsem diplomovou práci
vypracoval samostatně s použitím uvedené literatury.

V Liberci dne 30.5. 1989



Děkuji všem svým vysokoškolským učitelům za znalosti získané během studia na VŠST v Liberci, kterých jsem použil při vypracovávání této diplomové práce.

Především však děkuji RNDr. Kláře Císařové a Ing. Pavlu Jirmanovi za věcné připomínky a rady při zpracování diplomového úkolu.

OBSAH

Úvod	3
1. Metoda konečných prvků	4
1.1. Úvod do metody konečných prvků	4
1.2. Stručně o metodě konečných prvků	4
1.3. Předpoklady pro zavedení metody konečných prvků ...	9
1.4. Všeobecné zásady navrhování sítí pro metodu konečných prvků	10
2. Počítačová grafika	12
2.1. Matematické prostředky počítačové grafiky	12
2.1.1. Transformace	12
2.1.2. Promítání	13
2.1.3. Křivky a plochy	15
2.1.3.1. Rovinné křivky	15
2.1.3.2. Prostorové křivky	16
2.1.3.3. Rovnice ploch	17
2.2. Interpolační křivky	18
2.2.1. Spline funkce a křivky	19
2.2.2. Křivky určené lomenou čarou	20
2.3. Programové vybavení	22
2.3.1. Možnosti programového vybavení	22
2.3.2. Charakteristika vybraných CAD/CAM systémů z kapitalistických států	24
2.3.3. Současné vývojové tendenze v oblasti CAD/CAM ve vyspělých kapitalistických státech	26
2.3.4. Současný stav v ČSSR	27
2.3.5. Záměry dalšího rozvoje v ČSSR	28
2.3.6. Přínosy automatizace konstruování	29
3. AutoCAD	31
3.1. Úvod do AutoCADu	31
3.2. Souhrn povelů AutoCADu	32
4. Vstupní soubory pro systém programů PMD 2	39
4.1. Údaje o jednotlivých typech prvků	39
4.1.1. ITE = 56	39
4.1.2. ITE = 55	41

4.2. Struktura vstupních dat	42
5. Praktická část	43
5.1. Aplikace systému generování sítí ČKD Praha v podmírkách VŠST	43
5.2. Popis programů	46
Závěr	48
Seznam použité literatury	50
Seznam příloh	51

Úvod

V současné době je spotřebiteli požadována stále vyšší kvalita a rozmanitost sklářských výrobků. Pokud si chce výrobce udržet svou konkurenceschopnost, musí stále zvyšovat své inovační schopnosti a zefektivňovat výrobu. Toho lze dosáhnout pouze v případě zabezpečení vysoké úrovně technické přípravy výroby.

Hlavním článkem této činnosti je navrhování nových výrobků, příprava a výroba forem a optimalizace parametrů tvarování. Dnes tyto požadavky splňuje systém navrhování sklářských forem s podporou počítače /CAD/. Optimální práci při navrhování prostorového tvaru nového výrobku a následně též lisovací sklářské formy zabezpečuje pracovní stanice používající 3D grafiku /WORKSTATION/.

Model formy se získává přiřazením typizovaného vnějšího tvaru formy k vnitřnímu /vnitřní tvar formy je negativní vzhledem k modelu výrobku/. Vhodné přiřazení je řízeno bází znalostí a děje se pomocí v ní obsažených zkušeností a pravidel. Báze znalostí též počáteční výběr vhodného materiálu zajistí z materiálových položek v databázi. Nyní nastává fáze matematického modelování metodou konečných prvků a optimalizace vnějšího tvaru formy. Na optimalizovaný konečný tvar formy navazuje CAM, výkresová dokumentace a simulace obrábění.

Tato práce se zabývá především přípravou vstupních dat k vlastnímu výpočtu metodou konečných prvků, konkrétně automatickým vytvořením uzlových a elementových čísel. Generování sítě a automatické vytváření uzlových a elementových čísel sice nepatří mezi centrální problémy metody konečných prvků, ale pro svou důležitost při zjednodušení a zefektivnění práce zadavatele se stalo výhodné pro značnou úsporu času.

1. kapitola

1. METODA KONEČNÝCH PRVKŮ

1.1. Úvod do metody konečných prvků

Současná etapa vědeckotechnického vývoje disponuje výpočetní technikou na vysoké úrovni a kvalitativně novými, neobvyčejně výkonnými výpočetními metodami. Revoluční změnu do výpočtářské praxe ve vědních oborech souvisících s projektní činností přinesla zejména metoda konečných prvků. Umožňuje provést výpočty s přesností do nedávna netušenou a řešit problémy, které pro svou obtížnost nebyly dosud zvládnutelné. Metoda konečných prvků může v mnoha případech nahradit dlouhodobý a nákladný experimentální vývoj.

Význam metody konečných prvků je v tom, že umožňuje řešení úloh z technické praxe pro geometrické oblasti v podstatě libovolně utvářené, v souladu se skutečným tvarem technických dílců a pro velmi různorodé okrajové podmínky, také odpovídající skutečnosti.

1.2. Stručně o metodě konečných prvků

Základ metody konečných prvků spočívá v tom, že řešená spojitá oblast se diskretizuje rozdelením na prvky a použitím tvarových funkcí se problém převede na algebraickou úlohu, formulovanou soustavou lineárních algebraických rovnic v matricovém tvaru.

Objekt, který má být podroben výpočtu, se nahradí matematickým modelem sestaveným z prvků. Jemné dělení se provede v místech s očekávaným vysokým gradientem vyšetřované veličiny /např. mechanického napětí nebo potenciálu/.

Nejjednodušší používané prvky jsou prutové prvky, se dvěma uzly k připojení dalších prvků na koncích, průřezem konstantním, nebo po délce lineárně proměnným. Plošné prvky jsou trojúhelníkové nebo čtyřúhelníkové s přímými stranami se třemi a čtyřmi uzly ve vrcholech, nebo s křivočarými stranami /izoparametrické prvky/, s meziuzly uprostřed stran, takže trojúhelníkové prvky mají šest uzelů a čtyřúhelníkové osm uzelů. Tloušťka prvků může být konstantní nebo proměnná. Prostorové prvky s rovinnými stěnami mají tvar čtyřstěnu, pětistěnu, nebo šestistěnu, se čtyřmi, šesti a osmi uzly ve vrcholech. Prostorové izoparametrické prvky se stěnami obecně zakřivenými mají meziuzly uprostřed hran a mají osm, dvanáct a šestistěn dvacet uzelů.

Poloha, tvar a velikost prvků v matematickém modelu se popisuje pomocí číslovaných uzelů se zadanými souřadnicemi. Také vzájemná vazba prvků je definována pomocí uzelů.

Matematický model řešeného technického dílce může obsahovat různé materiály. Materiál se mění po prvcích.

Systém lineárních rovnic, na který se úloha převádí, má dále uvedený tvar:

- Pro úlohy z lineární statiky

$$\underline{K} \cdot \underline{v} = \underline{f}$$

\underline{K} - je matice tuhosti

\underline{v} - vektor posuvů v uzlech

\underline{f} - vektor zatěžujících sil v uzlech

Prvky matice tuhosti vypočítá program automaticky ze zadáного geometrického popisu a zadaných materiálových parametrů. Zatížení vnějšími silami předepíše zadavatel úlohy přímo do příslušných uzelů nebo zadá zatížení globálně, podle konvence konkrétního použitého programu a detailní rozdělení zatížení na uzly provede program automaticky. Např. k zohled-

nění odstředivé síly stačí udat osu rotace a rychlosť otáčení. Posuvy jsou předem neznámé a jsou předmětem výpočtu, mimo těch, které zadavatel předepíše zadáním okrajových podmínek.

Řešení systému rovnic se dostanou posuvy ve všech uzlech. Pro každý uzel se dostanou tři posuvy V_x , V_y , V_z ve směru tří souřadnicových os a tři složky rotace D_x , D_y , D_z kolem tří souřadnicových os. Dalším výpočtem s použitím Hookova zákona určí program napětí v uzlech.

- Pro stacimární potenciální problémy

$$\underline{K} \cdot \underline{p} + \underline{F} = 0$$

\underline{K} - je matice materiálových parametrů

\underline{p} - vektor potenciálů v uzlech

\underline{F} - představuje průtočné množství a zdroje

Materiál může být obecně ortotropní /t.j. vlastnosti materiální mohou být závislé na směru/, takže např. při řešení teplotního pole může platit

$$\underline{K} = \begin{matrix} \lambda_x & 0 & 0 \\ 0 & \lambda_y & 0 \\ 0 & 0 & \lambda_z \end{matrix}$$

kde λ_x , λ_y , λ_z jsou tepelné vodivosti ve směrech os souřadnicového systému.

Potenciály jsou neznámé a jsou předmětem výpočtu, mimo potenciálů zadaných v rámci okrajových podmínek.

Řešením systému rovnic se vypočítají potenciály ve všech uzlech. Na rozdíl od lineární statiky je potenciální úloha jednodušší, protože potenciál je skalár a pro každý uzel se dostane jen jedna hodnota.

Velmi často řešenou potenciální úlohou je výpočet teplotního pole.

\underline{K} - je matice tepelných vodivostí

$\underline{p} = \underline{v}$ - vektor teplotních rozdílů

grad \underline{v} - teplotní spád

$\underline{F} = D \cdot \text{plocha} + Q \cdot \text{objem}$, kde $D = -\lambda \text{grad } \underline{v}$ je tepelný tok a Q je zdroj tepla

Pro další potenciální úlohy platí analogické vztahy.

Elektrické pole

Matice \underline{K} udává dielektrickou konstantu /permitivitu/.

$\epsilon_x, \epsilon_y, \epsilon_z$.

$\underline{p} = \underline{U}$ je vektor elektrického potenciálu v uzlech /napětí/

$\underline{E} = \text{grad } \underline{U}$ - intenzita elektrického pole

$\underline{F} = D \cdot \text{plocha} + Q \cdot \text{objem}$, kde $D = \epsilon E$ je dielektrický posuv a Q je hustota náboje

Magnetické pole

Matice \underline{K} udává permeabilitu μ_x, μ_y, μ_z

$p = \underline{V_m}$ je magnetický potenciál

$\underline{H} = \text{grad } \underline{V_m}$ - intenzita magnetického pole

$\underline{F} = B \cdot \text{plocha}$, kde $B = \mu H$ - magnetická indukce

$Q = \text{div } B = 0$ samá pole bez zdrojů

Potenciální proudění

\underline{K} je jednotková matice

$\underline{p} = \emptyset$ - rychlostní potenciál

$\underline{c} = \text{grad } \emptyset$ - rychlosť

$F = q \cdot \text{plocha} + Q \cdot \text{objem}$, kde $q = -c_n$ je přítok nebo odtok na okraji, ve směru normály.

$Q = \text{div } \underline{c}$ je vydatnost zdroje

Složitější je řešení úloh z dynamiky, přesněji z oblasti kmitání. Při výpočtu kmitů se iterační metodou řeší soustava pohybových diferenciálních rovnic.

$$\underline{M} \cdot \ddot{\underline{v}} + \underline{K} \cdot \underline{v} = 0$$

\underline{M} je diagonální matice hmotností

\underline{K} - matice tuhostí

$\ddot{\underline{v}}$ - vektor zrychlení v uzlech

\underline{v} - vektor posuvu v uzlech

Řešením se dostanou vlastní kmitočty a vlastní vektory netlumeného kmitového systému.

Vymučené kmity tlumeného systému se vypočítají řešením soustavy pohybových diferenciálních rovnic

$$\underline{M} \cdot \ddot{\underline{v}} + \underline{C} \cdot \dot{\underline{v}} + \underline{K} \cdot \underline{v} = \underline{f}$$

\underline{M} - matice hmotností

\underline{C} - matice tlumení

\underline{K} - matice tuhostí

$\ddot{\underline{v}}$ - vektor zrychlení v uzlech

$\dot{\underline{v}}$ - vektor rychlostí v uzlech

\underline{v} - vektor posuvu v uzlech

\underline{f} - budící vektor

Na výpočet vlastních kmitů v tomto případě navazuje modální analýza a výpočet vymučených kmitů pro harmonické buzení silové v uzlech, nebo harmonické buzení kinematické v uzlech, nebo pro kinematické buzení základu.

Vyšetření odezvy systému na časově závislý budící impuls se provádí opakovánou integrací systému pohybových

diferenciálních rovnic po velmi krátkých časových intervalech.

1.3. Předpoklady pro zavedení metody konečných prvků

Pro racionální a ekonomicky výhodné využívání metody konečných prvků musí být vytvořeny náležité hardwarové, softwarové a organizační podmínky.

Především musí být dostupný přiměřeně výkonný počítač. Za menší nebo středně veliké úlohy se při použití metody konečných prvků považují přibližně úlohy, jejichž matematický model obsahuje nejvýše 2 000 uzlů, 2 000 prvků a asi 6 000 stupňů volnosti / to znamená 6 000 neznámých posuvů v uzlech/. K řešení takových úloh je potřebná vnitřní paměť počítače 256 KB výše, a kapacita vnější paměti na discích asi od 30 MB. Větší úlohy, asi kolem 5 000 uzlů a 5 000 prvků a 20 000 stupňů volnosti, již předpokládají počítač s vnitřní pamětí od 512 KB, podle možnosti virtuální a vnější diskovou paměť od 60 MB. Procesor je žádoucí podle možnosti 32 bitový.

Účelné využívání metody konečných prvků v každém případě předpokládá možnost grafické kontroly zadání a grafického zobrazení výsledků buď na obrazovce, nebo na plotteru, přičemž nejvhodnější je obojí současně. Využívání metody konečných prvků však nepředpokládá nezbytně vlastní počítač, výpočty se mohou zajišťovat s využitím úplného cizího serveru.

1.4. Všeobecné zásady navrhování sítí pro metodu konečných prvků

S otázkami automatického vytváření sítí souvisí problém jejich optimalizace, t.j. navržení nejvhodnější sítě pro řešení daného problému /dané oblasti a daného typu elementu/. Požadavky na hustotu sítě ovlivňují dva zcela protichůdné faktory: 1/ z fyzikálního hlediska je optimální síť co nejhustší, neboť pro "nekonečně" hustou síť má metoda konvergovat k přesnému řešení;

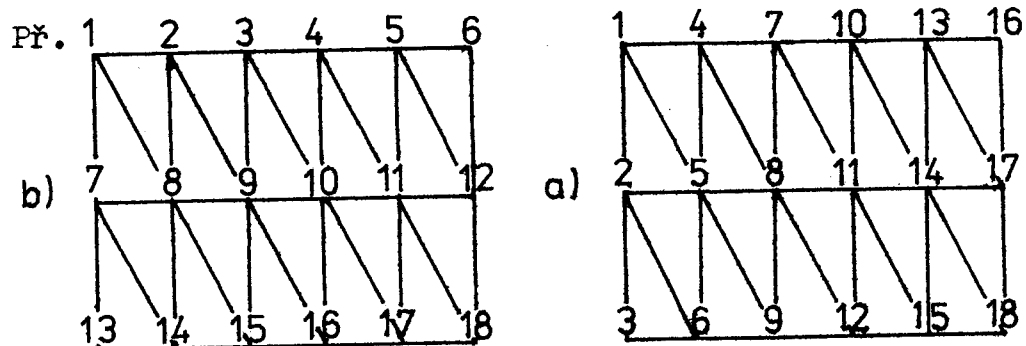
2/ z hlediska numerického procesu je nejvhodnější síť co nejřidší, neboť se vzrůstajícím počtem elementů /počtem rovnic/ vzrůstá i nepřesnost řešení vlivem zaokrouhlovacích chyb při konečné délce slov v počítači.

Zkušenosti s tímto problémem, zveřejněné různými autory, lze shrnout do několika bodů:

- navržená síť musí být proměnlivá, ale plošné obsahy sousedních elementů se nemají lišit více než o dva řády,
- tvarem se mají trojúhelníkové elementy co nejvíce blížit rovnostrannému trojúhelníku, čtyřúhelníkové elementy čtverci,
- při použití nerovnostranných trojúhelníků by neměly existovat příliš ostré úhly /neboť v odhadu chyby vzniklé interpolací je sinus vnitřního úhlu ve jmenovateli/,
- v podoblastech, ve kterých očekáváme větší změny řešení, nebo které jsou pro nás důležité, utváříme síť kratší než na zbylé části uvažované oblasti, kupř. při zatížení tělesa pouze povrchovými silami utváříme na jeho povrchu hustší síť než uvnitř,
- je-li těleso namáhané teplotní dilatací při nerovnoměrném otřesu, je třeba respektovat požadavek, aby rozdíl teploty mezi dvěma sousedními prvky nepřekročil jistou mez /asi $10^{\circ} C$ /,

- při jednoduché délce slov / asi 7 platných dekadických míst/ je maximální možná velikost řešených systémů 1 500 až 2 000 rovnic, další zhušťování sítě nemá už praktický smysl, může naopak vést ke zhoršení přesnosti řešení.

Důležitým požadavkem na síť je vhodné očíslování uzlů. Na tomto očíslování závisí šířka pásu nenulových prvků v celkové matici a při běžných iteračních metodách celkový čas výpočtu a nároky na obsazení paměti.



- v případě obdélníkové oblasti je očíslování uzlů ve směru kratší strany / viz a// vhodnější než očíslování uzlů ve směru delší strany / viz b//.

2. kapitola

2. POČÍTAČOVÁ GRAFIKA

=====

2.1. Matematické prostředky počítačové grafiky

2.1.1. Transformace

Transformace v rovině

Bod / x, y / se transformuje do bodu / $'x, 'y$ /

Translace /posunutí/

je určena vektorem posunutí

$$\underline{P} /xp, yp/$$

$$'x = x + xp$$

$$'y = y + yp$$

Otačení kolem počátku

/0,0/ /obr. 2.1./

$$'x = x \cdot \cos - y \cdot \sin$$

$$'y = x \cdot \sin - y \cdot \cos$$

Změna měřítka na osách je určena k násobku původní hodnoty.

$$'x = K \cdot x$$

$$'y = K \cdot y / Zmenšení nebo zvětšení kresby/$$

Rovinné transformace a jejich skládání se používají v základních kreslících systémech.

Transformace v prostoru

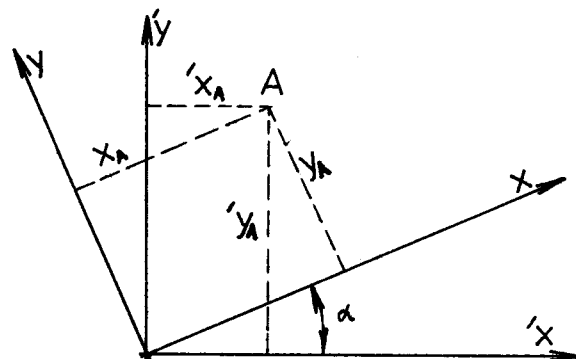
Bod / x, y, z / se transformuje do bodu / $'x, 'y, 'z$ /

Translace

$$'x = x + xp$$

$$'y = y + yp$$

$$'z = z + zp$$



Obr. 2.1.

Otočení o úhel α kolem osy

$$\begin{array}{l} z \\ 'x = x \cdot \cos\alpha - y \cdot \sin\alpha \\ 'y = x \cdot \sin\alpha + y \cdot \cos\alpha \\ z = z \end{array}$$

$$\begin{array}{l} y \\ 'x = x \cdot \cos\alpha + z \cdot \sin\alpha \\ 'y = y \\ z = -x \sin\alpha + z \cdot \cos\alpha \end{array}$$

$$\begin{array}{l} x \\ 'x = x \\ 'y = y \cdot \cos\alpha - z \cdot \sin\alpha \\ 'z = y \cdot \sin\alpha + z \cdot \cos\alpha \end{array}$$

Změna měřítka

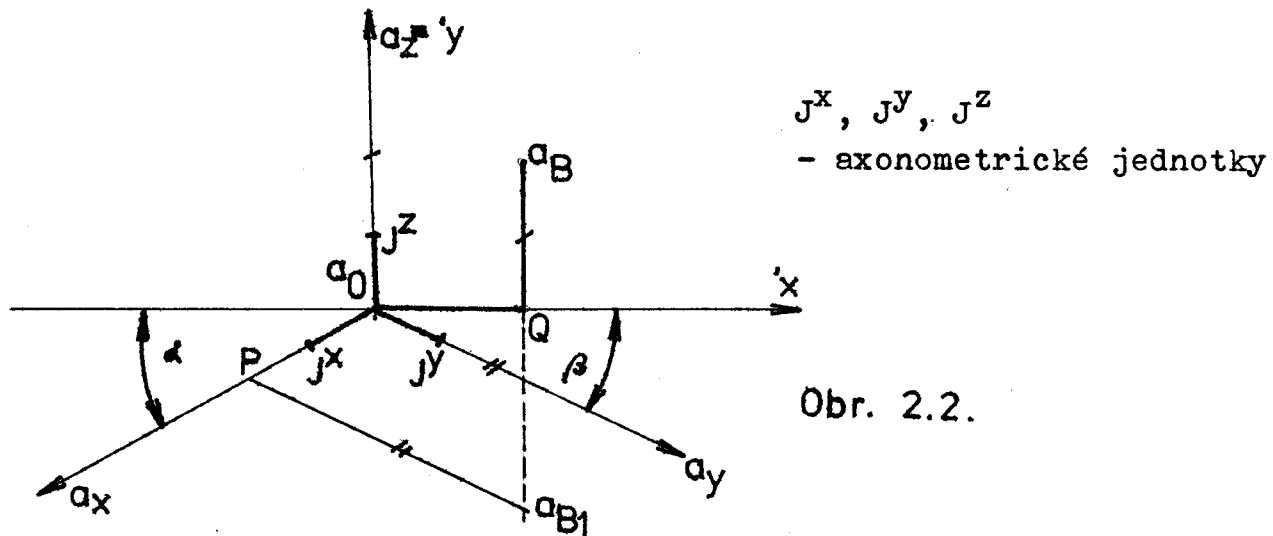
$$\begin{array}{l} 'x = K \cdot x \\ 'y = K \cdot y \\ 'z = K \cdot z \end{array}$$

2.1.2. Promítání

Je to transformace prostoru na rovinu. Základem technického kreslení je kolmé promítání do souřadnicových rovin. Obecně srozumitelná promítání jsou axonometrie a perspektiva.

Axonometrie

je určena osovým křížem / ax, ay, az/



Axonometrii aB bodu B /x,y,z/ sestrojíme takto /obr. 2.2./:
na ose a_x určíme pomocný bod P tak, aby ${}^aOP = x \cdot J^x$, na
rovnoběžce bodem P s osou a_y bod aB_1 /axonometrie půdorysu
B₁ bodu B/ tak, aby ${}^aP{}^aB_1 = y \cdot J^y$ a na rovnoběžce bodem aB_1
s osou a_z bod aB tak, aby ${}^aB_1{}^aB = z \cdot J^z$.

Průsečík přímky aB_1 aB s osou a_x označme Q. Bod B je axonometrií transformován do bodu aB o souřadnicích $'x = {}^aOQ$,
 $'y = {}^aB$ soustavě / a_0 , $'x$, $'y = {}^a_z/$.

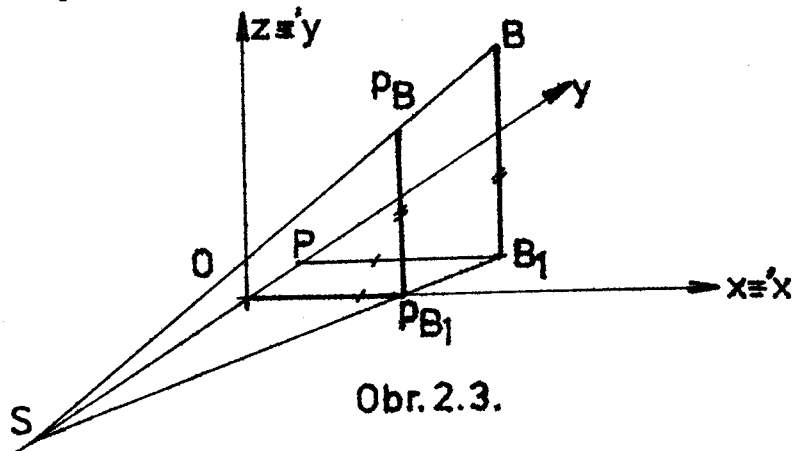
Z této konstrukce plynou transformační rovnice axonometrie

$$'x = -x \cdot J^x \cdot \cos\alpha + J^y \cdot \cos\beta$$

$$'y = -x \cdot J^x \cdot \sin\alpha - y \cdot J^y \cdot \sin\beta + z \cdot J^z$$

Perspektiva

Zvolíme bod S /0, -d, 0/, d 0 na střed promítání a rovinu
xz za perspektivní průmětnu /obr. 2.3./.



Obr. 2.3.

Vzdálenost d středu perspektivy od průmětny je distance
perspektivy. Perspektiva P_B bodu B o souřadnicích
 $x = PB_1$, $y = OP$, $z = B_1 B$ /obr. 2.3./ je průsečík promítací¹
přímky SB s rovinou xz. Sestrojíme nejprve půdorys perspektivy
 ${}^P_B = x \cdot SB_1$ a pak je P_B průsečíkem přímky SB a rovnoběžky
vedené bodem P_B s osou z. Souřadnice bodu PB v soustavě
/0, $'x = x$, $'y = z/$ určíme z podobných trojúhelníků
 SB_1P , S^P_B a SB_1B , $S^P_B P_B$:

$$\frac{'x}{x} = \frac{'y}{z} = \frac{d}{d+y} = K$$

takže transformační rovnice perspektivy jsou

$$\begin{aligned}'x &= K \cdot x \\'y &= K \cdot z\end{aligned}$$

2.1.3. Křivky a plochy

Křivky a plochy určujeme rovnicemi, platnými pro souřadnice jejich bodů. Rozborem rovnic získáme geometrické vlastnosti křivek a ploch. Můžeme však i naopak vycházet z potřebných geometrických vlastností a na jejich základě sestavovat příslušné rovnice /kap. 8/.

2.1.3.1. Rovinné křivky

Explicitní rovnice

$$/1/ \quad y = f(x) \quad \text{př. } y = x /1 - x/$$

Parametrické rovnice

$$\begin{aligned}/2/ \quad x &= x(t) \quad \text{př. } x = r \cdot \cos t \\y &= y(t); \quad a \leq t \leq b \\&\quad \text{kružnice } y = r \cdot \sin t \\&\quad 0 \leq t \leq 2\pi\end{aligned}$$

Vektorová rovnice

$$/3/ \quad \underline{R} = \underline{R}(t); \quad a \leq t \leq b$$

\underline{R} - polohový vektor

$\underline{R}(t)$ - vektorová funkce určena dvěma explicitními funkcemi $x(t)$ a $y(t)$

$$\underline{R}/t/ = x/t/ ; y/t/$$

Derivaci $d\underline{R}/dt$ vektorové funkce $\underline{R}/t/$ označíme $\underline{R}'/t/$.

Určíme ji derivováním složek

$$\underline{R}'/t/ = x'/t/ ; y'/t/$$

Vektor $\underline{R}'/t/$ je rovnoběžný s tečnou křivky a proto se nazývá tečný vektor křivky v bodě.

2.1.3.2. Prostorové křivky

Parametrické rovnice

$$\begin{aligned} /4/ \quad x &= x/t/ \\ y &= y/t/ \\ z &= z/t/ \quad a \leq t \leq b \end{aligned}$$

Parametrické rovnice vyjadřují kinematický vznik křivky jako dráhy pohybujícího se bodu. Tento bod má v čase t souřadnice $x/t/$, $y/t/$, $z/t/$. Křivka je orientována rostoucím parametrem t .

Vektorová rovnice

$$\text{má tvar } \underline{R} = \underline{R}/t/ \quad a \leq t \leq b$$

$$\underline{R}/t/ = x/t/ , y/t/ , z/t/$$

Derivaci $d\underline{R}/dt$ této vektorové funkce označíme $\underline{R}'/t/$ a je to vektorová funkce, jejíž složky jsou derivace funkcí $x/t/$, $y/t/$ a $z/t/$, tj.

$$\underline{R}'/t/ = x'/t/ ; y'/t/ ; z/t/ .$$

Pro každé t z intervalu a, b je to vektor rovnoběžný s tečnou křivky v bodě. Proto se nazývá tečný vektor křivky v bodě.

2.1.3.3. Rovnice ploch

Explicitní rovnice

$$/5/ \quad z = f /x, y/$$

Zvolíme-li konstantní souřadnici x , nebo y , $x = X$, nebo $y = Y$, jsou rovnicemi s jednou proměnnou y nebo x .

$z = f /X, y/$, nebo $z = f /x, Y/$ určeny hlavní křivky plochy /5/, v rovině rovnoběžné se souřadnicovou rovinou yz nebo xz .

Parametrické rovnice

$$/6/ \quad \begin{aligned} x &= x /u, w/ \\ y &= y /u, w/ \quad a \leq u \leq b \quad /u \in I_u/ \\ z &= z /u, w/ \quad c \leq w \leq d \quad /w \in I_w/. \end{aligned}$$

Zvolíme-li za parametr u , respektive w konstantu U , respektive W , je rovnicemi s jedním parametrem

$$\begin{aligned} x &= x /U, w/ \text{ resp. } x = x /u, W/ \\ y &= y /U, w/ \quad y = y /u, W/ \\ z &= z /U, w/ \quad z = z /u, W/ \end{aligned}$$

$$U \in I_u, \quad W \in I_w,$$

určena křivka plochy /6/, která se nazývá parametrickou w -křivkou, resp. parametrickou u -křivkou.

Speciálně určí parametry $U = a$, resp. $U = b$ okrajové parametrické w -křivky a parametry $W = c$, resp. $W = d$ okrajové parametrické u -křivky na ploše /6/. Tyto křivky tvoří čtyřúhelník, okraj plochy. Část plochy, omezenou okrajem, nazýváme zejména v technických aplikacích plátem. Vrcholy okrajového čtyřúhelníka jsou rohové body plátu.

Jsou-li prvé dvě z rovnic /6/ speciální

$$x = u, y = w,$$

pak je třetí ekvivalentní s explicitní rovnicí

$$z = z /x, y/$$

a definuje plochu, jejíž okraj tvoří křivky v rovinách.

$$x = a, x = b, y = c, y = d.$$

Vektorová rovnice

$$/7/ \quad R = R /u, v/, \quad u \in I_u; \quad w \in I_w.$$

Vektorová funkce $R /u, w/$ je určena třemi funkcemi dvou parametrů u, w : $x /u, w/, y /u, w/, z /u, w/$, složkami této vektorové funkce píšeme

$$R /u, w/ = /x /u, w/, y /u, w/, z /u, w//$$

a tedy /7/ je jen symbolickým zápisem parametrických rovnic /6/.

Zvolíme-li konstantní $U \in I_u$, nebo $W \in I_w$, pak funkce jednoho parametru $R /U, w/$ nebo $R /u, W/$ určují parametrické w -nebo u -křivky plochy /7/.

2.2. Interpolační křivky

Pro interpolaci funkcí je vypracována řada interpolačních metod. Uvedme např. Lagrangeovu metodu, interpolaci trigometrickými polynomy ap. Zadanými opěrnými body je určena funkce pro celý interval. Např. u Lagrangeovy metody je body $/x_0, y_0/, /x_1, y_1/, \dots /x_n, y_n/$ proložena funkce

$$L_n = \sum_{k=0}^n y_k \frac{\prod_{\substack{j=0 \\ j \neq k}}^n (x - x_j)}{\prod_{\substack{j=0 \\ j \neq k}}^n (x_k - x_j)}$$

tj. mnohočlen stupně n . Je zřejmé, že při vyším počtu zadaných opěrných bodů se výpočty komplikují a polynomy vyšších stupňů vedou ke vzniku nežádoucích inflexí apod. Proto se ukazuje, že je vhodnější pro každý oblouk interpolační funkce, resp. křivky, užít jiné funkce, resp. křivky, stejného typu. V opěrných bodech požadujeme spojitost, a to i pro derivaci do určitého řádu.

2.2.1. Spline funkce a křivky /interpolace po obloucích/

Uvedeme nejdříve definici spline funkce. Určení spline funkce, resp. spline křivky, si ukážeme na příkladech, neboť obecné vztahy by byly nepřehledné.

Spline funkcí stupně m pro daný $n + 1$ bodů
 $x_i = /x_i, y_i/, i = 0, \dots, n$,
 $x_0 < x_1 < \dots < x_n$, nazýváme funkci $f /x/$, pro kterou na intervalu $\langle x_0 ; x_n \rangle$ platí
a/ $f /x/ = f_K /x/$ na intervalu $\langle x_K ; x_{K+1} \rangle$,
kde f_K je polynom stupně m ,
b/ $f /x/$ má spojité derivace $f^{(0)}, f^{(1)}, \dots, f^{(m-1)}$.

Nejčastěji se užívají kubické spline funkce ($m = 3$), které jsou matematickým modelem laťkového křivítka užívaného loďařskými konstruktéry.

Pro křivky se užívá parametrické spline interpolace, přičemž každá ze složek je spline funkcí pro parametr.
Platí: 1. Kubická spline funkce je jednoznačně určena opěrnými body a hodnotami prvních derivací v bodech x_0 a x_n .
2. Kubická spline funkce je jednoznačně určena opěrnými body a hodnotami druhých derivací v bodech x_0 a x_n .

3. Uzavřená spline křivka je jednoznačně určena opěrnými body.

Často se užívá přirozená spline funkce, tj. kubická spline funkce pro nulové hodnoty druhých derivací v bodech x_0 a x_n / $y''_0 = y''_n = 0$ /.

2.2.2. Křivky určené lomenou čarou

Technické prostředky interakční grafiky umožňují, aby se konstruktér spoluúčastnil jednoduchým způsobem vytváření vhodné křivky. Bézierova myšlenka tváření křivek požadovaného tvaru pomocí řídící lomené čáry /neboli polygonu/ je základem teorie Bézierových křivek a B - spline křivek.

B - spline křivky

B - spline křivky jsou zobecněním Bézierových křivek. Zobecnění se dosahuje užitím principu interpolace křivky po obloucích. Seznámíme se se speciální B - spline křivkou, tzv. kubickou Coonsovou B - spline křivkou.

Oblouk kubického Coonsova B - spline je určen vektorovou rovnicí:

$$\underline{R} /t/ = \frac{1}{6} \sum_{i=0}^3 \underline{P_i} C_i /t/ ; \quad t \in \langle 0,1 \rangle$$

$$\begin{aligned} a \quad C_0 /x/ &= -t^3 + 3t^2 - 3t + 1 = /1 - t/^3 \\ C_1 /x/ &= 3t^3 - 6t^2 + 4 \\ C_i /x/ &= -3t^3 + 3t^2 + 3t + 1 \\ C_3 /x/ &= t^3 \end{aligned}$$

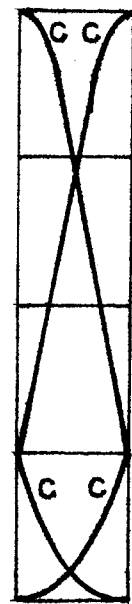
Grafy bázových funkcí $C_i /x/$,
 $i = 0, 1, 2, 3$, jsou uvedeny
na obr. 2.4.

Vyšetříme základní vlastnosti oblouku Coonsova B - spline.

1/ Určíme počáteční a koncový bod oblouku : Pro $t = 0$ dostaneme
 $C_0/0/ = C_2/0/ = 1 ; C_1/0/ = 4 ;$
 $C_3/0/ = 0.$

$$\underline{R}/0/ = \frac{1}{6} / \underline{P}_0 + 4\underline{P}_1 + \underline{P}_2 / = \\ = \frac{1}{3} \left[\frac{1}{2} / \underline{P}_0 + \underline{P}_2 / - \underline{P}_1 \right] + \underline{P}_1 .$$

Počátečním bodem oblouku je bod $\underline{R}/0/$, který leží v $\frac{1}{3}$ délky těžnice trojúhelníka $P_0 P_1 P_2$ od bodu P_1 /obr. 2.5./.

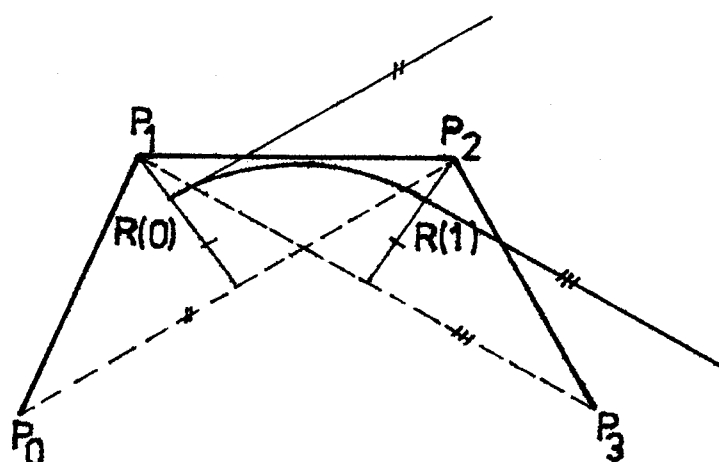


Obr. 2.4.

Pro $t = 1$ platí $C_0/1/ = 0 ;$
 $C_1/1/ = C_3/1/ \quad C_2/x/ = 4$, tudíž

$$\underline{R}/1/ = \frac{1}{6} / \underline{P}_1 + 4\underline{P}_2 + \underline{P}_3 / = \frac{1}{3} \left[\frac{1}{2} / \underline{P}_1 + \underline{P}_3 / - \underline{P}_2 \right] + \underline{P}_2 .$$

Koncovým bodem oblouku je bod $\underline{R}/1/$ těžnice trojúhelníka $P_1 P_2 P_3$. Bod $\underline{R}/1/$ leží v $\frac{1}{3}$ délky těžnice od bodu P_2 /obr. 2.5./.



Obr. 2.5

2/ Jaké tečny má B - spline křivka v počátečním a koncovém bodě ?

Určíme $\underline{R}' /0/$. Zřejmě $C'_0 /0/ = -3$, $C'_1 /0/ = 0$,
 $C'_2 /0/ = 3$, $C'_3 /0/ = 0$.

$$\text{Tedy } \underline{R}' /0/ = \frac{1}{2} /P_2 - P_0/$$

Tečna v bodě $\underline{R} /0/$ je tedy rovnoběžná s přímkou $P_0 P_2$.
Podobně lze ukázat, že tečna v bodě $\underline{R} /1/$ je směru $P_1 P_3$.

2.3. Programové vybavení

Převedení naznačených teoretických principů počítačové grafiky do počítače je závislé na konkrétní aplikaci a technickém vybavení uživatele. S technikou souvisí i dostupné programové prostředky, které současný softwarový trh nabízí. Co se týká naznačeného teoretického základu, uvedl jsem jenom stručný úvod teorie počítačové grafiky. Počítačová grafika je dnes už velmi rozsáhlá, hlavně v oblasti 3D /prostorové grafiky/, např. znázornění těles - interpolací ploch a následného modelování, geometrických transformací či problémů viditelnosti apod. Programy řešící tyto geometrické úlohy jsou velmi pracné a přinášejí řadu nových algoritmických problémů. Proto je nezbytná při řešiteli možnost znalosti hotového softwaru. Orientace na hotové programové prostředky je ekonomicky velmi výhodná.

2.3.1. Možnosti programového vybavení

Podle programového vybavení umožňují soudobé grafické systémy, pracující v interakčním /dialogovém/ režimu, celou řadu funkcí :
- vytvářejí dvourozměrný /2D/ nebo trojrozměrný /3D/ geomet-

rický model ;

- umožňují vytvářet grafický model prostřednictvím příkazů z digitalizátoru, z klávesnice, s využitím kurzoru, pomocí tzv. příkazových symbolů v dialogu prostřednictvím grafického terminálu ;
- geometrický model vytvářejí z elementárních prvků, trvale uložených v paměti systému /slovník, knihovna/, které může konstruktér doplňovat ;
- automaticky řeší úlohy rovinné a prostorové geometrie /průsečíky, tečny, tečné oblouky, rovnoběžky, kolmice, průniky těles, řezy tělesy apod./ ;
- automaticky zobrazují geometrický model v různých pohledech, včetně izometrického, perspektivního, případně stereoskopického ;
- umožňují vytvářet knihovny dílců, uzelů a sestav a dále s nimi pracovat ;
- automaticky kótují a šrafují i velmi složité útvary ;
- umožňují rychlou změnu měřítka, výřezy, kopírování, rotaci, zrcadlení, posouvání části kresby, vymazávání, dokreslování a další úpravy kresby ;
- po vytvoření geometrického modelu, jeho zobrazení na zobrazovači a uložení do paměti umožňují vykreslení na některém z dokumentačních zařízení ;
- jsou vybaveny systémem pro ukládání, třídění, archivaci a opětné vyvolání výkresu prvků, uzelů a sestav konstruovaných strojů a zařízení ;
- umožňují provádět konstrukční výpočty a graficky interpretovat jejich výsledky ;
- využívají databázového systému, ve kterém jsou uloženy veškeré informace potřebné pro práci konstruktéra a systému ;

- umožňují automatickou tvorbu podkladu pro technologickou přípravu výroby /materiálové rozpisky, technologické postupy, příprava dat pro NC stroje/.

Veškeré operace se provádějí podle jednoduchých mnemo-technických příkazů, které je možno zadat z klávesnice terminálu, z tzv. funkční klávesnice, elektronickým a světelným perem z tzv. MENU nebo příkazovými grafickými symboly.

2.3.2. Charakteristika vybraných CAD/CAM systémů z kapitalistických států

Konstruování a tvorba výkresové dokumentace

Můžeme se zde setkat se systémy těchto názvů :

DIAD - Distributed Interactive Automated Drafting System
DOGS - Drawing Office Graphic System
GDS - General Drafting System
SWIFT - produkt angl. firmy TANGRAM Ltd.
CADIS - produkt firmy Siemens

Systémů tohoto druhu existuje celá řada. Pro ukázkou např. systém MLD /vyvinutý anglickou firmou MOUNTFORD a LAXON Co. Ltd., určen pro mikropočítače SIRIUS 1/.

Zahrnuje tyto skupiny funkcí :

- tvorba prvků kresby /body, přímky, kružnice .../
- určení různých atributů prvků kresby /tloušťka a typ čáry .../
- výpočty /vzdáleností, úhlů, těžiště .../
- pojmenování skupiny prvků kresby
- editace kresby
- parametrické kresby

Tento systém patří k nejjednodušším.

Automatizované programování NC strojů

Jde v podstatě o dva trendy :

- přechod na malou výpočetní techniku /mini - a mikropočítače/
- aktivní využívání počítačové grafiky .

Systém GNC /Graphical Numerical Control/ vyvinulo CAD Centrum v Cambridge. Systém GNC jako první přišel s tím, že využívá počítačovou grafiku aktivně. Na definovanou geometrii je možno kdykoliv zobrazit na displeji, při vlastní definici technologie obrábění je volený postup možno kontrolovat na grafickém displeji.

CAD/CAM systémy založené na metodě modelování povrchů

Vzhledem k jednoznačné vazbě na NC programování jsou tyto systémy považovány za nejproduktivnější.

Systém CD 2000 patří ke komplexním CAD/CAM systémům, určeným pro velké počítače. Systém zahrnuje :

- nástroje pro návrh objektů ve 2D i ve 3D
- prostředky pro automatizované zpracování výkresové dokumentace
- prostředky pro tvorbu NC pásky
- prostředky pro analýzu navržených objektů

CAD/CAM systémy budované na metodě modelování objemů

V posledních letech se prosazují více tyto systémy. Protože vazba na NC programování je v nich zpravidla obtížnější, jsou systémy určeny spíše do oblasti CAD, kde se uplatňují zejména při návrhu sestav či uzelů výrobků.

Systém MEDUSA - patří k nejdokonalejším. /anglická firma
CAMBRIDGE INTERACTIVE SYSTEMS /PRODUCTS/ Ltd.

Systém umožňuje :

- vytváření objektů pomocí objemových elementů ;
- vytváření objektu rekonstrukcí ze základních pohledů ;
- uložit informace do databáze ;
- vytvářet si uživatelský katalog ;
- odstranění neviditelných čar a stínování ;
- approximovat zborcené plochy pomocí mnohostěnu ;
- provádět výpočty /těžiště, objemy, momenty setrvačnosti/;
- generovat síť pro analýzu pomocí metody konečných prvků ;
- napojovat systém MEDUSA na další CAD/CAM systémy pomocí standartního interfejzu podle normy IGES.

2.3.3. Současné vývojové tendenze v oblasti CAD/CAM ve vyspělých kapitalistických státech

V současné době jsou zřetelné tyto tendenze :

a/ Problematiku CAD/CAM je možno po teoretické a algoritmické stránce považovat za zvládnutou. Práce vývojového zaměření se tedy zaměřují do těchto oblastí :

- efektivnější grafické výstupy
- zjednodušování prostředků i forem komunikace člověka s počítačem
- vytváření interfejzů pro integraci se systémy charakteru ASŘ výroby
- práce na normách a standartizaci - vytváření možností propojování různých systémů do vyšších celků
- aplikační úpravy systémů

- b/ Z hlediska technického vybavení je systémy možné dělit do dvou základních skupin, a to :
- komplexní systémy provozovatelné na výkonných počítačích /32 - bitové minipočítače s virtuální pamětí od 1 MB výše/ ;
 - menší, účelově orientované systémy pro mikropočítače /16 - bitové mikropočítače třídy PDP 11/.
- c/ Silně se prosazují rastrové grafické displeje /např. anglická firma WESTWARD/. Jedná se o špičková zařízení, nejvýkonnější model umožňuje rozlišovat zhruba 200 x 1500 bodů.

2.3.4. Současný stav v ČSSR

Pro minipočítače a jejich periferii byly zpraveny nebo vytvořeny programy a programové systémy GFS a STR /pro DIGIGRAF/, SM GRAF / pro vektorový grafický terminál SM 7405/, na ČVUT Praha vznikly programy MINIGRAF, INTERGRAF, BAGR, PASCALGRAF, ve VÚMS byl vytvořen systém GRAMIS / pro IGS/ADT/.

Jedním z grafických programových systémů, vhodných pro automatizaci konstrukčních prací je systém MINIG, vyvíjený, ověřovaný a prakticky využívaný ve VÚES Brno.

Systém MINIG umožňuje uživatelům práci jak s pasivní, tak s interakční dvourozměrnou počítačovou grafikou v závislosti na technickém vybavení systému. Je určen především pro automatizaci konstrukčních prací, umožňuje však také kreslení grafů, diagramů, formulářů s texty, schemat, předloh plošných spojů apod.

MINIG je určen především pro minipočítače SMEP /SM 4-20, SM 52-11/ s pohyblivou řádovou čárkou a překladačem FORTRAN W PLUS. Využívá operačního systému DOS RV2 a je na něm

závislý. Lze ho použít pro různé typy grafických i negrafických přídavných zařízení a je prakticky periferně nezávislý.

Nezávislost na periferiích dosahuje MINIG 1 oddělením procesu generace obrazců od vykreslování. Generuje se popis obrazu ve tvaru sekvenčního alfanumerického souboru dat /souboru grafických příkazů/, který je nezávislý na periferii.

Definice struktury souboru grafických příkazů je základem celého systému MINIG 1 i na vlastnostech struktury dat v souboru grafických příkazů jsou vybudovány veškeré programové prostředky. Jedinou závaznou částí MINIGu je předpis pro vytváření souborů grafických příkazů. Ostatní části sloučí k další práci s těmito soubory a lze je dále zdokonalovat a rozšiřovat.

Pro potřeby automatizovaného programování NC strojů na počítači SMEP /SM 4-20, SM 52-11/ byl v Ústavu pro automatizaci řízení v průmyslu INORGA Praha vyvinut systém INGE.

Tento systém umožňuje programování frézek, vrtaček, obráběcích center i soustruhů a karuselů. Významným rysem tohoto systému je práce s prostředky počítačové grafiky, na kterých je možno kontrolovat správnost provedeného popisu geometrie součásti nebo pohyby nástrojů při obrábění. Vzhledem k tomu, že kromě obrobku je možno znázornit i další prvky NC stroje, je možné pomocí grafických výstupů kontrolovat případný vznik kolize mezi nástrojem a obrobkem.

2.3.5. Záměry dalšího rozvoje v ČSSR

Otázka automatizace konstrukční a technologické přípravy výroby se stala součástí cílového programu SCP 08 "Aplikace elektroniky", který je součástí dlouhodobého komplexního

programu "Elektronizace národního hospodářství". SK VTRI se snaží o důslednou koncentraci výzkumných a vývojových kapacit na řešení této problematiky, pro osmou pětiletku se připravuje několik státních úkolů v této oblasti.

Rovněž v oblasti vývoje technických prostředků se v poslední době pokročilo. V rámci programu SMEP III byl zajištěn vývoj prvého československého 32 - bitového minipočítače SM 52/12, který prošel úspěšnými zkouškami již na podzim roku 1984. V rámci zmíněného programu se intenzivně pracuje na vývoji nových grafických periferií.

2.3.6. Přínosy automatizace konstruování

Můžeme je rozdělit na přímé a nepřímé
Mezi přímé přínosy patří:

- zkrácení času potřebného pro zpracování objektů a pro přípravu konstrukční a výrobní dokumentace ;
- zvýšení kvality konstruovaných strojů a zařízení ;
- snížení nákladů na projektovou a konstrukční přípravu nových výrobků.

Mezi nepřímé přínosy můžeme zařadit:

- zvýšení konstrukční a technologické kázně ;
- zvýšení unifikace, typizace a standartizace ;
- celkové zvýšení úrovně, společenské prestiže a produktivity konstruktérské práce ;
- zlepšení úrovně formální z obsahové stránky zpracovávaných konstrukčních podkladů ;
- sjednocení projektových, konstrukčních a výpočtařských metod a postupů.

Na druhé straně je třeba upozornit na některé nedostatky a negativní dopady zavádění automatizace konstruování. Jsou to zejména:

- postupná ztráta schopnosti a zkušenosti pro vytváření ideově zcela nových, původních a dokonalejších výpočetních a konstrukčních metod a postupů jako důsledek opakování využívání již připravených metod, programů, postupů a principů ;
- namáhavá a vyčerpávající práce dialogovými metodami a využitím grafických terminálů, dlouhotrvající práce.

3. kapitola

3. AutoCAD =====

V ČKD Praha je problematika generování sítí řešena na 16-ti bitových počítačích /PC/ s využitím hotového softwaru AutoCAD.

3.1. Úvod do AutoCADu

AutoCAD provádí naše instrukce, aby rychle vytvořil přesně takový výkres, jaký chceme. Nabízí funkce, které umožňují snadno opravit chyby vzniklé při kreslení a dokonce provádět velké úpravy aniž je nutno předělat celý výkres. Vytváří dokonale precizní finální výkresy. AutoCAD pracuje za nás. Nevkládá do našich výkresů nic "o své vůli". Hotový výkres AutoCADu vypadá skutečně identicky se stejným výkresem připraveným ručně. /"Skutečně", protože AutoCAD je-li použit se správným zařízením, může značně zvýšit přesnost./ Náš výkres je umístěn přesně tak, jak specifikujeme, s každým prvkem právě tam, kde jej chceme.

AutoCAD poskytuje množinu entit pro použití při konstruování výkresu. Entita je prvek pro kreslení jako úsečka, kružnice, textový řetězec atd.. Zadáváme povely, kterými říkáme AutoCADu, kterou entitu má vykreslit. Povely je možno napsat na klávesnici, zvolit z menu na obrazovce nebo z vícetlačítkového ovládacího zařízení. Potom, jako odezvu na prompt na displeji, zadáte určité parametry pro zvolenou entitu. Tyto parametry vždy obsahují bod na výkresu, kde chceme aby se entita objevila. Někdy jsou také požadovány velikost nebo úhel otočení. Poté, co zadáme tyto informace, je entita vykreslena a objeví se na grafickém monitoru. Potom můžeme zadat nový povel pro vykreslení jiné entity

nebo provedení jiné funkce AutoCADu.

Jiné funkce AutoCADu nám umožňují modifikovat výkres různými způsoby. Entity mohou být mazány, posunovány nebo kopírovány pro vytvoření opakovaných vzorů. Můžeme změnit zorné pole výkresu zobrazeného na grafickém monitoru nebo si zobrazit informace o výkrese. AutoCAD též poskytuje pomůcky pro kreslení, které nám mohou entity přesně napočítat. Chceme-li papírovou kopii výkresu, můžeme jej vykreslit na plotru nebo vytisknout na grafické tiskárně. Jednoduchý povelový formát umožňuje provést snadno všechny tyto funkce. V některých případech je vše, co musíme udělat, jen zadat povel a funkce se okamžitě provede. Nanejvýš je požadováno, abychom po povelu zadali několik malých, snadno zadatelných specifikací. AutoCAD nás pobídne a označí typ požadované informace.

3.2. Souhrn povelů AutoCADu

ARC	- vykreslí oblouk libovolné velikosti
AREA	- určí obsah a obvod mnohoúhelníka
ARRAY	- vytváří násobné kopie zvolených objektů v obdélníkovém či kruhovém poli
ATTDEF	- vytváří entitu definice atributu pro textové informace, které jsou příbuzné k definici bloku
ATTDISP	- řídí viditelnost atributových entit na globálním základě
ATTEDIT	- umožňuje editování atributu
ATTEXT	- extrahuje údaje o attributech z výkresu
AXIS	- na grafickém monitoru zobrazí "stupnici měřítka"
BASE	- specifikuje počátek pro následné vkládání do jiného výkresu
BLIPMODE	- řídí zobrazení značek bodu pro volbu bodu
BLOCK	- vytváří složené objekty ze skupin entit
BREAK	- vymaže část objektu nebo jej rozdělí na 2 objekty

- CHAMFER - vytvoří zkosení v místě průsečíku dvou přímek
- CHANGE - mění místo, velikost nebo orientaci zvolených objektů, zvláště užitečné pro textové entity
- CIRCLE - vykreslí kružnici libovolné velikosti
- COLOR - určuje barvu pro následné vykreslované objekty
- COPY - vykreslí kopii zvolených objektů
- DBLIST - vypisuje informace o datové základně pro všechny entity ve výkrese
- DELAY - zpožďuje provedení následujícího povelu o uvedenou dobu
- DIM - vyvolá režim kótování, což umožňuje přidání mnoha kót do výkresu
- DIM1 - umožňuje přidat jednu kótu do výkresu a poté se vrátí do normálního povelového režimu
- DIST - určí vzdálenost mezi dvěma body
- DIVIDE - umisťuje povel vybraného objektu značky a tím jej rozděluje na specifikovaný počet stejných částí
- DOUGHNUT - vykresluje prstence o specifikovaním vnitřním a vnějším průměru
- DONUT - totéž jako DOUGHNUT
- DRAGMODE - umožňuje řízení funkce dynamických specifikací /"tažení"/ pro všechny příslušné povely
- DTEXT - vykresluje dynamicky textové položky
- DXBIN - vkládá do výkresu speciálně kódované binární soubory, povel pro zvláštní účely pro programy jako CAD/camera
- DXFIN - natáhne výměnný soubor výkresu

- DXFOUT - zapíše výměnný soubor výkresu
 ELEV - nastavuje elevaci a vysunutí pro následné kreslené entity, použito pro trojrozměrné znázornění
 ELLIPSE - vykresluje elipsy s použitím několika specifikací
 END - opouští editor výkresu po uložení upraveného výkresu
 ERASE - vyřazuje z výkresu entity
 EXPLODE - rozbije blok nebo linii na jednotlivé složky
 EXTEND - prodlužuje úsečku, oblouk nebo linii, aby se připojila k dalšímu objektu
 FILES - provádí Tasky utilit pro diskové soubory
 FILL - řídí, mají-li se plochy, trasy a tlusté linie na obrazovce a při vykreslování na plotru automaticky vyplňovat
 FILLET - vytváří mezi dvěma úsečkami, oblouky nebo kružnicemi hladký oblouk specifikovaného poloměru
 GRAPHSCR - na jednoobrazovkovém systému přepne na grafickou obrazovku, používáno v povelových textech a menu
 GRID - zobrazí na obrazovce mřížku teček o zadané rozteči
 HATCH - provádí grafování a vyplňování vzorkem
 HELP nebo ? - zobrazí seznam platných povelů a volitelných vstupních údajů nebo obstará pomoc pro specifický povel
 HIDE - regeneruje trojrozměrné znázornění s odstraněním zakrytých linií
 ID - zobrazí souřadnice specifikovaného bodu
 IGESIN - načte výměnný soubor IGES
 IGESOUT - zapíše výměnný soubor IGES
 INSERT - vloží kopii předem vykreslené části /objektu/ do běžného výkresu

- ISOPLANE - volí rovinu izometrické mřížky za "běžnou" rovinu pro pravoúhlé kreslení
- LAYER - vytváří pojmenované vrstvy výkresu a přiřazuje těmto vrstvám barvu a typ čáry
- LIMITS - mění meze pro vykreslování a řídí kontrolu těchto mezi
- LINE - kreslí úsečku libovolné délky
- LINETYPE - definuje typ čáry /posloupnosti střídajících se segmentů čar a mezer/, natahuje je z knihoven a nastavuje typ čáry pro následné kreslené objekty
- LIST - vypisuje informace a datové základny pro zvolené objekty
- LOAD - natahuje soubor tvaru definovaných uživatelem pro používání s povelem SHAPE
- LTSCALE - specifikuje měřítko, které se má používat pro všechny typy čar uvnitř výkresu
- MEASURE - umisťuje povel zvoleného objektu po specifikovaných intervalech značky
- MENU - natahuje soubor povelů editoru výkresu do oblasti menu /obrazovka, grafický tablet a klávesy/
- MINsert - vkládá násobné kopie bloku v pravoúhlém uspořádání
- MIRROR - převrací označené entity kolem osy specifikované uživatelem
- MOVE - posune označené entity na jiné místo
- MSLIDE - vytvoří soubor "diapozitivů" z běžného displeje
- OFFSET - umožňuje vytvoření offsetových křivek a paralelních přímek
- OOPS - obnovuje vymazané entity
- ORTHO - omezuje kreslení ÚSEČEK tak, že je možno zadávat pouze úsečky vyrovnané podle běžné mřížky

OSNAP	- umožňuje umístit body přesně na referenční body existujících objektů
PAN	- posune okno displeje
PEDIT	- umožňuje editaci linií
PLINE	- kreslí spojené segmenty úseček a oblouků s volitelnou tloušťkou a klinovitostí
PLOT	- vykreslí výkres na plotru
POINT	- nakreslí jeden bod
POLYGON	- nakreslí pravidelný mnohoúhelník o specifickém počtu stran
PRPLOT	- vytiskne výkres na grafické tiskárně
PURGE	- odstraní z výkresu nepoužité bloky, tvary písma, vrstvy nebo typy čar
QTEXT	- umožňuje identifikaci textových entit bez kreslení detailního textu
QUIT	- opuštění editoru výkresu a návrat do hlavního menu AutoCADu s odložením všech změn ve výkrese
REDO	- zrušení předchozího povelu, pokud jim byl U nebo UNDO
REDRAW	- obnovení nebo vyčistění displeje
REGEN	- obnovení /regenerace/ celého výkresu
REGENAUTO	- umožňuje řízení automatického obnovování /regenerace/ výkresu prováděného jinými povely
RENAME	- mění jméno přiřazené stylům písma, pojmenovaným záběrům, vrstvám, typům čar a blokům
RESUME	- pokračování v přerušeném textu povelu
ROTATE	- pootočení existujícího objektu
RSCRIPT	- nové spuštění povelového textu od začátku
SAVE	- aktualizuje soubor běžného výkresu bez opuštění editoru výkresu

- SCALE - změna velikosti existujících objektů
- SCRIPT - provedení povelového textu
- SELECT - seskupuje objekty do množiny voleb pro použití v následných povelech
- 'SETVAR - umožňuje zobrazit si či změnit hodnoty systémových proměnných
- SH - na systémech s MS-DOS/PC-DOSem umožňuje přístup k interním povelům
- SHAPE - nakreslí předem definované tvary
- SHELL - umožňuje přístup k jiným programům během činnosti AutoCADu
- SKETCH - umožňuje skicování "volnou rukou"
- SNAP - specifikuje interval pro "zaokrouhlování" pro zadávání bodu z digitizeru, takže je možno snadno přesně umisťovat entity
- SOLID - nakreslí vyplněné mnohoúhelníky
- STATUS - zobrazí statistiku pro běžný výkres
- STRETCH - umožňuje posunout část výkresu se zachováním připojení k dalším částem výkresu
- STYLE - vytváří pojmenované tvary /styly/ pásma s uživatelsky volenými kombinacemi typu, zrcadlení, zkosení a měřítka
- TABLET - srovná digitalizační tablet se souřadnicemi papírového výkresu, aby bylo možno jej přesně pomocí AutoCADu zkopirovat
- TEXT - nakreslí značky textu libovolné velikosti s použitím zvolených druhů /stylů/ písma
- 'TEXTSCR - na jednoobrazovkovém systému přepne na textový displej, použito v povelových textech a menu
- TIME - zobrazí časy vytvoření výkresu a jeho aktualizace a umožňuje řízení stopek

- TRACE - kreslí trasy o specifikované tloušťce
- TRIM - vymaže část vybraných entit, které protínají specifikované hranice
- U - ruší efekt předchozího povelu
- UNDO - ruší efekt několika povelů a poskytuje kontrolu nad funkcí "anulování"
- UNITS - folí formáty a přesnost zobrazení souřadnic a úhlů
- VIEW - uloží běžný grafický displej jako pojmenovaný záběr nebo obnovuje uložený záběr na displeji
- VIEWRES - umožňuje řídit přesnost a rychlosť kreslení kružnic a kruhových oblouků na monitoru specifikováním počtu stran na kružnici
- VPOINT - volí zorný bod pro trojrozměrné znázornění
- VSLIDE - zobrazí dříve vytvořený soubor "diapozitivů"
- WBLOCK - zapíše vybrané entity do diskového souboru
- ZOOM - zvětšuje či zmenšuje zobrazovanou oblast výkresu

4. kapitola

4. Vstupní soubory pro systém programů PMD 2 =====

4.1. Údaje o jednotlivých typech prvku

4.1.1. ITE = 56 - Isoparametrický šestistěn s 8-20 uzly

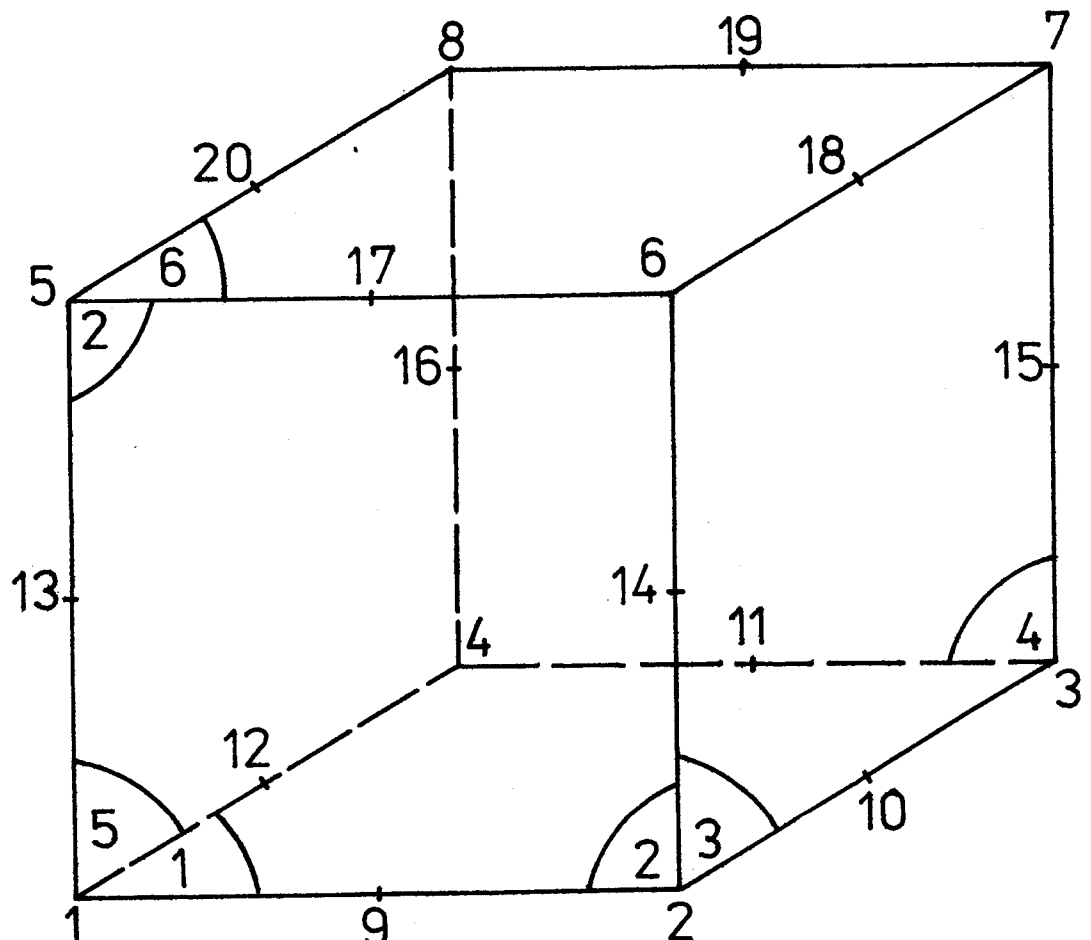
Prvek má 8 rohových uzelů, které nelze vynechat a po jednom uzlu uprostřed každé z 12 hran /obr. 4.1./. Uzel na volné hraně lze vynechat. Prvek má tedy minimálně 8 a maximálně 20 uzelů. V síti lze kombinovat prvky s různým počtem uzelů, stykové stěny by však měly být uzly obsazeny stejně.

Předpokládá se pravotočivý souřadný systém. Prvek může být vůči němu zcela obecně situován.

Při číslování uzelů sítě připadne každému uzlu určité globální číslo IN, 1 IN NNOD. Pro popis sítě topologie prvku je nutno uvést globální čísla v určitém pořadí.

Pořadí, v jakém se uzly uvádějí, je zřejmé z obr. 4.1., v němž jsou uzly označeny čísla. Vychází se z libovolného rohového uzlu a ve směru pravotočivé šroubovice se nejprve projde všech 8 rohových uzelů a pak uzly uprostřed hran. Je-li uzel na hraně vynechán, uvede se na jeho místě nula.

Z volby výchozího uzlu vyplývají čísla stěn prvku i čísla bodů numerické integrace /na obr. 4.1. jsou uvedená v obloučcích na rozích stěn/. Čísla stěn mají význam při přiřazování vypočtené složky tenzoru napětí. Jako řešení tepelné úlohy se u tohoto prvku získá v každém uzlu jedna složka teploty.



Obr. 4.1.

Zatížení prvku je obecně možné :

- objemovými tepelnými zdroji,
- konvektivním přestupem tepla,
- radiací,
- obecným přestupem tepla /volná konvence/,
- předepsaným tepelným tokem na povrchu,
- koncentrovanými tepelnými toky v uzlech.

Dále je možné předepsat teplotu v uzlech.

4.1.2. ITE = 55 - Isoparametrický pětistěn s 6-15 uzly

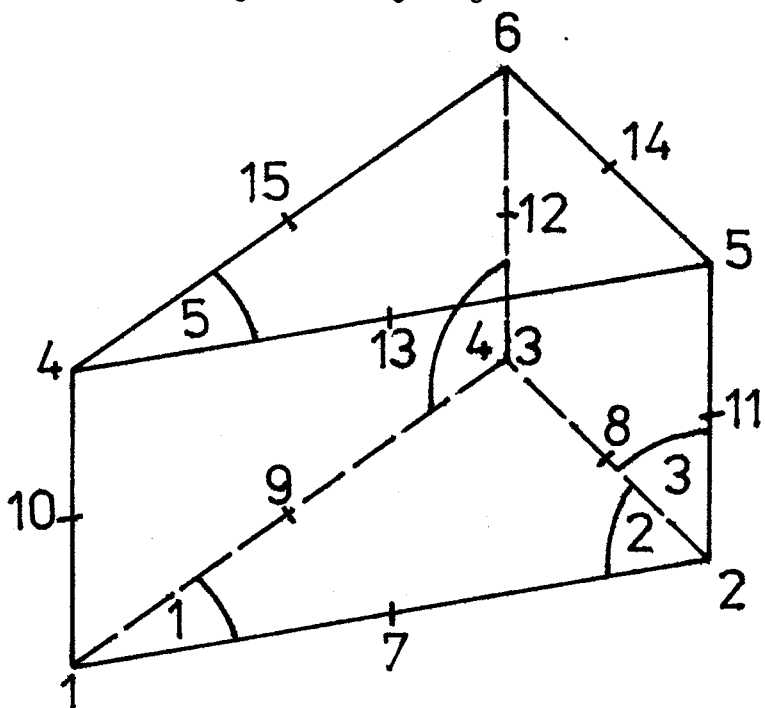
Prvek se používá jako doplněk isoparametrického šestistěnu v místě síťě, kde je třeba změnit její hustotu, počet vrstev prvků apod..

Prvek má tvar hranolu s trojúhelníkovými základnami a všemi hranami a stěnami obecně zakřivenými. Kterýkoliv uzel na hraně lze vyměnit, takže prvek může mít minimálně 6 a maximálně 15 uzlů. Na obr. 4.2. je varianta s 15 uzly.

Rořadí zadávání čísel uzlů je obdobné pořadí, zavedenému u šestistěnu s tím rozdílem, že čísla uzlů se musí zadávat po trojúhelníkových základnách, nikoli po čtyřúhelníkových stěnách.

Lokální číslování stěn je zřejmé z obr. 4.2..

Možnosti zatížení jsou stejné jako u šestistěnu, ITE = 56.



Obr. 4.2

4.2. Struktura vstupních dat

Zadání uzlů

xy c číslo uzlu x-ová souřadnice uzlu y-ová souřadnice
z-ová souřadnice

Zadání elementů

Šestistěn

EL T56 E číslo elementu N číslo uzlu číslo uzlu ...

Pětistěn

EL T55 E číslo elementu N číslo uzlu číslo uzlu ...

5. kapitola

5. PRAKTIČKÁ ČÁST

5.1. Aplikace systému generování sítí ČKD Praha v podmírkách VŠST

Síť je vytvořena na 32-bitovém počítači CROMEMCO CS - 100H v PRECIOSE Jablonec nad Nisou, neboť zde se navrhují forma pro výrobek /obr. 5.1 - viz příloha 15/. Síť tvoříme v prostoru /3D/, což umožňuje programový balík MULTICADD /obr. 5.2 - síť - viz příloha 15/. Zde je číslování elementů a uzel téměř nemožné, a proto zhotovenou síť převádíme na počítač 16-bitový /PC/. Zde lze očíslování provést poměrně jednoduše, ale zase naopak nevýhodou je úzká omezenost 3D grafiky. Pro 16-bitový počítač nám postačují souřadnice jednotlivých uzelů X, Y a Z, které získáme pomocí řídícího NC programu a fortranského programu /viz příloha č. 1/.

Postup tvorby řídícího NC programu :

- přejdeme do režimu NC,
- definujeme souřadní systém - funkce MACSYS,
- definujeme nástroj - funkce TOOL /může být libovolný/,
- vyvoláme funkci MILL a zde vybereme funkci DRILL /= vrtání/,
- nadefinujeme vrtací cyklus - CYCLES /přiřadíme zde dříve definovaný nástroj/,
- vybereme funkci DRILL,
- zapneme nadefinovaný cyklus,
- označíme odvrtávané body /uzly sítě/ v požadovaném pořadí,
- po proběhnutí cyklu vrátíme nástroj do výchozí polohy /funkce SERVICE - JUMP HOME/,
- vyskočíme z nabídky DRILL,

- uzavřeme dráhu nástroje /funkce CLOSTOP/,
- funkce POSTPR převede vzniklý ATP program pomocí postprocesoru Hel55f na řídící NC program /viz příloha č. 6/,
- vzniklý program je uložen pod jménem jméno souboru.jméno dráhy nástroje.Hel55f.

Dále následuje spuštění fortranského programu. Postačí zadat jen jméno řídícího NC programu a automaticky se vytvoří soubor XYZ /viz příloha č. 7/, který nahrajeme na disketu /hotová vstupní data pro počítač PC/. Pro lepší orientaci na 16-bitovém počítači je nutné síť vytisknout na tiskárně.

Na 16-bitovém počítači se kreslí pomocí AutoCADu, který byl popsán v kapitole 3. Musíme provést přeřazení čísel uzelů a přidání předepsaných příkazů a mezer pro AutoCAD /mezera znamená RETURN/. To vše provede program pro ACAD /viz příloha č. 2/, který po spuštění a zadání jména vstupního souboru vytvoří soubory ABC.SCR a ABD.SCR /viz příloha č. 8 a č.9/. Přípona SCR je nutná pro AutoCAD. Ty překopírujeme do AutoCADu /funkce COPY - E:/ACAD9/. Pak spustíme AutoCAD a napišeme příkaz SCRIPT. Počítač žádá jméno souboru. Zadáme soubor ABC /bez přípony SCR/ a tím se na obrazovce vykreslí body prostorové sítě /obr. 5.3 - viz příloha č. 15/. Následuje funkce 3DLINE a vytvoříme stěny elementů. Je lépe používat různé barvy /příkaz COLOR + číslo barvy/, protože nám to usnadní orientaci v jednotlivých stěnách. Po vytvoření stěn vytvoříme podstavy elementů funkcí 3DFACE. Musíme dodržovat sled označování jednotlivých bodů. Následuje funkce DXFOUT a udání přesnosti /číslo 1- 16/. Tak vznikne DXF soubor /viz příloha č. 11/ se jménem shodným jako jméno entity s příponou DXF. Pomocí příkazu END vyskočíme z AutoCADu a překopírujeme tento soubor /z E:/ACAD9 do D:/MSFOR/BIN/. Spustíme program pro čtení DXF /viz příloha č. 3/ a zadáme jméno souboru /+.DXF/. Tento program vytvoří soubor ABE.SCR /viz příloha

č. 10/, což je číslování elementů. Musíme ho přehrát /funkce COPY/ do AutoCADu /E:/ACAD9/. Pak se opakováním vyvoláním funkce SCRIPT a postupným zadáním souborů ABD a ABE vykreslí čísla uzelů a elementů /obr. 5.4 a 5.5 viz příloha č. 15/. Dostáváme tak vykreslení a očíslování celé sítě.

Můžeme také pro lepší přehlednost provést viditelnost, a to pomocí funkce HIDE. Po tomto příkazu všechny neviditelné hrany a stěny zmizí /obr. 5.6 viz příloha č. 15/. Nebo můžeme funkcí VPOINT nastavit celou vytvořenou síť /různé pohledy/.

Pro vytvoření vstupních dat pro PMD2 slouží dva programy /viz příloha č. 4 a č. 5/, které po spuštění automaticky vytvoří soubory PMDC1 a PMDC2 v konečné podobě. Ty se pak nahrají na disketu. Z ní se převádějí na děrnou pásku a děrné štítky pro velký počítač, který zpracovává tyto data pro metodu konečných prvků. Po tomto výpočtu dostáváme teplotní pole v celé formě, a tak můžeme posoudit vhodnost formy či její nevhodnost. Je-li forma nevhodná, musíme ji změnit a s touto změnou probíhá práce znova od začátku, jak je popsáno v této kapitole.

5.2. Popis programů

Program pro čtení NC souboru

Je uveden i s NC souborem v příloze /příloha č. 1 a č. 6/.

Tento program čte soubor po řádcích a každý řádek dále testuje znak po znaku a hledá jednotlivé souřadnice. Tyto souřadnice v NC souboru jsou seřazeny za sebou X, Y, Z, a je vždy nejdříve uvedeno X pak Y a Z. Jestliže jedna souřadnice nebo dvě zůstávají stejné a mění se pouze třetí, tak nejsou tyto dvě uvedeny. Program s touto situací počítá a řeší ji. Nenarazí-li na souřadnice v současném kroku, pak jím přiřadí souřadnice v předešlém kroku.

Program pracuje s jedním programem, který převádí značkový řetězec čísel na čísla typu REAL. Tím dostaneme vstupní soubor pro počítač PC /viz příloha č. 7/.

Program pro ACAD

Je uveden v příloze č. 2.

Tento program vychází ze souboru souřadnic /příloha č. 7/. Jedná se o čtení jednotlivých souřadnic a přiřazování jim AutoCADové příkazy /POINT, ELEV, TEXT/. Tento program vytváří soubory ABC.SCR /příloha č. 8/ a ABD.SCR /příloha č. 9/. Přípona .SCR musí být uvedena, aby soubor mohl být vyvolán příkazem SCRIPT. Dále ještě přiřazuje pro popis jednotlivým uzlům jejich čísla pro vykreslení na obrazovce příkazem TEXT.

Program pro PMD 2

Je uveden v příloze č. 4.

Program vychází ze souboru souřadnic /příloha č. 7/ a přiřazuje souřadnicím čísla. Tím vytváří soubor pro vstup PMD 2 /příloha č. 12/. Tento soubor určuje jim čísla uzelů a je jen jednou částí pro vstup PMD 2.

Program pro PMD 2

Je uveden v příloze č. 5.

Čte postupně DXF soubor vytvořený z kresby a přiřazuje jednotlivým elementům příslušející uzly. Také zároveň tyto elementy čísluje. Posuzuje zda se jedná o pětistěnný element či šestistěnný. Tím získáme přesně definovaný soubor pro PMD 2 /příloha č. 13/. Jedná se o soubor, kde je uvedeno číslo elementu a jemu příslušející uzly. Dále vytváří soubor /příloha č. 14/ se vstupní pro program převod do AutoCAD /příloha č. 3/. Tím dosáhneme jeho zjednodušení.

Program pro ACAD

Je uveden v příloze č. 3.

Jedná se jen o čtení připraveného souboru, kde jsou uvedeny souřadnice těžiště elementů a jejich čísla /příloha č. 14/. Těmto souřadnicím přiřadí v přesném formátu /musí být různý počet mezer - mezera v AutoCADu znamená ENTER/ AutoCADové příkazy /ELEV, POINT, TEXT/ a tím se vytvoří soubor ABE.SCR /příloha č. 10/. Po vyvolání tohoto souboru příkazem SCRIPT se vykreslí na obrazovce těžiště elementů jejich čísla.

Závěr

Navrhování výrobků za pomocí počítače /CAD/CAM/ se v současné době stále více prosazuje, což je umožněno mohutným rozvojem výpočetní techniky /jak hardwarového, tak softwarového vybavení/. Tato cesta přináší možnost výhody, neboť nám umožňuje vyloučit některé operace /výkresová dokumentace, digitalizace/, které z tohoto pohledu jsou zbytečné a zpožďují přípravu výroby. Spojení CAD s metodou konečných prvků v jednom integrovaném systému umožňuje nahradit empirické zkušenosti navrhování exaktním přístupem při zachování volnosti tvorby návrháře.

Cílem této práce bylo pro navrženou sklářskou formu vytvořit síť, očíslovat uzly i elementy a převést je do tvaru dat pro vstup do PMD2. Tím se vlastně ověřuje správnost navržení tvaru i materiálu formy.

Vychází se z toho, že výrobek i následné přiřazení formy se provádí na 32-bitovém počítači CROMEMCO, který umožňuje práci s prostorovou grafikou. Teď jsou možné dvě cesty:

- a/ přenést na počítač PC tvar formy a síť tvořit už zde,
- b/ převést rovnou už vytvořenou síť.

Výhodnější se jeví přenášet rovnou síť v podobě souřadnic, uzelů. Na 16-bitovém počítači /PC/ pak z jednotlivých bodů vytvoříme síť, pomocí programů vygenerujeme čísla uzelů a elementů a převedeme je do žádané podoby pro PMD2. Nevýhodou je, že systém AutoCAD realizovaný na 16-bitovém počítači má omezenou prostorovou grafiku. V prostoru zná pouze úsečky /3DLINE/ a rovinné plochy /3DFACE/.

Lépe by bylo vytvořit vše na příslušném 32-bitovém počítači, kde existuje přímo už hotový software pro generování prostorové sítě. Což už ve světě existuje. My však ten-

to počítač s hotovým softwarem nemáme k dispozici, a proto jsme využili jen dostupnou techniku. Ale i tak plné praktické využití uvedeného postupu přinese v praxi značné zjednodušení a urychlení inovačního cyklu při zvýšené efektivnosti výroby a zvýšení exportuschopnosti. Základem je však urychlení rozšiřování odpovídajícího technického vybavení v praxi a ne aby se jednalo pouze o ojedinělé exponáty.

Seznam použité literatury

- /1/ Valenta, J. : Novodobé metody výpočtů tuhosti a pevnosti ve strojírenství. Praha, SNTL 1975.
- /2/ Konštruovanie s využitím počítača - systém CAD. Bratislava, Dom techniky ČSVTS 1987.
- /3/ Škoda, V. : Automatická regulace rovinné oblasti v metodě konečných prvků /diplomová práce/. Praha 1981.
- /4/ Drs, L. : Počítačová grafika /skripta/. ČVUT Praha, Ediční středisko 1985.
- /5/ Dobiáš, J. : Programová dokumentace 85 - 0019 k tepelnému programu XT3G. Praha - Běchovice, Státní výzkumný ústav pro stavbu strojů 1985.
- /6/ AutoCAD. Manual.

Seznam příloh

- /1/ - program - úprava výstupních údajů z CROMEMCA
- /2/ - program - vytvoření souboru pro ACAD /vykreslení bodů a čísel elementů/
- /3/ - program - vytvoření souboru pro ACAD /vykreslení čísel uzelů/
- /4/ - program - vytvoření 1. části vstupu pro PMD2
- /5/ - program - vytvoření 2. části vstupu pro PMD2
- /6/ - soubor - NC
- /7/ - soubor - výstupní z CROMEMCA
- /8/ - soubor - pro ACAD /vykreslení bodů/
- /9/ - soubor - pro ACAD /vykreslení čísel uzelů/
- /10/ - soubor - pro ACAD /vykreslení čísel elementů/
- /11/ - soubor - DXF
- /12/ - soubor - pro PMD2 - 1. část
- /13/ - soubor - pro PMD2 - 2. část
- /14/ - soubor - pomocný
- /15/ - obrazová příloha

PRILOHA cislo 1
=====

```
c uprava vystupnich udaju z CROMAMCA pro PC
dimension x(1000),y(1000),z(1000)
character soubor*30,a*80,b*10,c*10,d*10,f*10
integer stat,i,j,l,m
kp=0
f='0000000000'
31   write(*,100)
100  format(1x,'zadej jmeno souboru://')
      read(*,200)soubor
200  format(a)
      if(soubor(1:1).eq.' ') stop
      open(2,file=soubor,iostat=stat,status='old',form='formatted')
```

if soubor,stat
neze otevrit soubor , nez mohu =',i6)


```

        end
      return
      q=k*ZV/(10,**(10-IP))
1010  continue
      ZV=ZV*10+(ICHAR(CHR(I:I))-ICHAR('0'))
    endif
  goto 1010
  IP=1
1000  do 1010 J=N,10
      if(CHR(I:I).EQ.',') CHR(I:I)=0,
      if(CHR(I:I).EQ.,'.') then
        K=-1
      N=1
      IP=10
      if(CHR(I:I).NE.,'-') goto 1000
      K=1
      N=2
      IP=1
      if(CHR(I:I).NE.,'-') goto 1000
      K=0
      ZV=0
      character *10 CHR
      subroutine PREP(CHR,A)
      C_Prevod_Znakoveho_Retazce_Na_Cisla_Typu_Real

```

```

400   FORMAT(F10.3,3X,F10.3,3X,F10.3)
      CLOSE(2)
      CLOSE(3)
      WRITE(*,400) X(I),Y(I),Z(I)
33    WRITE(3,400) X(I),Y(I),Z(I)
      DO 33 I=1,KP

```

```

99    OPEN(3,FILE='XYZ',STATUS='OLD',FORM='FORMATTED')
      goto 10
      Z(KD)=T-1
      Y(KD)=S
      X(KD)=R
      KP=KP+1

```

```

      CALL PREP(D,T)
      CALL PREP(C,S)
      CALL PREP(B,R)
      D(JD+1)=F(JC+1)
      C(JC+1)=F(JB+1)
      B(JB+1)=F(JA+1)

```

```

15   IF(INDEX(A,'M99*').EQ.0) GOTO 10

```

```

      GOTO 60

```

```

      I=I+1
      IF(A(I:I).EQ.,Z') GOTO 2
      IF(A(I:I).EQ.,*) GOTO 15

```

```

      IF(A(I:I).EQ.,Y') GOTO 11

```

```

      GOTO 40
      J=J+1
      JD=J
      D(J,J)=A(I:I)

```

310

FORMAT(POINT,,F10.3,,),F10.3)

315

FORMAT(POINT,,A,,),A,,),A)

WRITE(4,315) X,Y,Z

WRITE(3,300)Z

WRITE(5,300)Z

FORMAT(I3)

READ(5,301)KKK

FORMAT('ELEV',,A,,)

K=K+1

CONTINUE

I=I+1

Z(I:I)=A(J:J)

IF(A(J:J).EQ.,,) GO TO 7

DO 7 J=24,36

I=I+1

CONTINUE

I=I+1

Y(I:I)=A(J:J)

IF(A(J:J).EQ.,,) GO TO 6

DO 6 J=11,23

I=I+1

CONTINUE

I=I+1

X(I:I)=A(J:J)

IF(A(J:J).EQ.,,) GO TO 5

DO 5 J=1,10

I=I+1

ENDIF

GOTO 1

FORMAT(1X,, KONEC SOUBORU ,,A,, STAT=,,16)

WRITER(5,120) SOUBOR,STAT

IF (STAT,NE,0) THEN

FORMAT(F10.3,2F13.3)

READ(2,212,IOSTAT=STAT,END=999) A

K=D

OPEN(2,FILE=SOUBOR,IOSTAT=STAT,STATUS='OLD',FORM='FORMATTED')

ENDIF

GOTO 1

FORMAT(1X,,NELEZ CIST SOUBOR ,,A,, KOD CHVBY=,,16)

WRITER(5,110) SOUBOR,STAT

IF (STAT,NE,0) THEN

FORMAT(1X,A)

IF (SOUBOR(1:I1).EQ.,,) STOP

FORMAT(10X,A)

WRITER(5,201)SOUBOR

.....KONTROLNI VYPISE MACTENE HODNOTY

FORMAT(A)

READ(5,200) SOUBOR

FORMAT(///10X,,ZADEJ JMENO SOUBORU:,,)

WRITER(5,100)

OPEN(4,FILE='ABC.SCR',STATUS='OLD',FORM='FORMATTED')

OPEN(3,FILE='ABD.SCR',STATUS='OLD',FORM='FORMATTED')

Z=,0000000000,

Y=,0000000000,

X=,0000000000,

V='ELEV',

CHARACTER SOUBOR*30,V*4,X*10,Y*10,Z*10,A*36,D*5,B*3,C*1

INTEGER START

====

C PROGRAM PRO ACAD

END

CLOSE(3)

CLOSE(4)

CLOSE(2)

999 CLOSE(10)

Z=,0000000000,

Y=,0000000000,

X=,0000000000

113 FORMAT('ZAPSALA SE VETA')

FORMAT('TEXT C ',A,,1,A,,10,,13)

320 WRITE(3,320) X,Y,K

FORMAT('TEXT C ',A,,1,A,,10,,13)

WRITETEXT C ,A,,1,A,,10,,13)

113 FORMAT('ZAPSALA SE VETA')

FORMAT('TEXT C ',A,,1,A,,10,,13)

320 WRITE(3,320) X,Y,K

FORMAT('TEXT C ',A,,1,A,,10,,13)

```

C PROGRAM PRO ACAD
CHARACTER X*10,Y*10,Z*10,A*33,K*3
OPEN(2,FILE='ABE.SCR',STATUS='OLD',FORM='FORMATTED')
OPEN(3,FILE='ABE.SCR',STATUS='OLD',FORM='FORMATTED')
READ(2,210,END=999) A
FORMAT(A)
K=A(1:3)
I=1
DO 5 J=4,13
IF(A(J:J),EQ,' ') GO TO 5
X(I:I)=A(J:J)
Y(I:I)=A(J:J)
CONTINUE
I=1
DO 6 J=14,23
IF(A(J:J),EQ,' ') GO TO 6
Y(I:I)=A(J:J)
CONTINUE
I=1
DO 7 J=24,33
IF(A(J:J),EQ,' ') GO TO 7
Z(I:I)=A(J:J)
CONTINUE
I=1
DO 300 Z
FORMAT('ELEV ','A',' ')
FORMAT('ELAY ','A',' ')
WRITE(3,300) X,Y,K
320 FORMAT('TEXT C ','A',' ','A',' ',10,' ,A')
FORMAT('TEXT C ','A',' ','A',' ',10,' ,A')
X=',0000000000'
Y=',0000000000'
Z=',0000000000'
CONTINUE
I=I+1
IF(A(I:I),EQ,' ') GO TO 7
Z(I:I)=A(I:I)
CONTINUE
I=1
DO 999 Z
CLOSE(2)
CLOSE(3)
999 END

```

```
C PROGRAM PRG PMD 2
OPEN(3,FILE='PMDC1',STATUS='OLD',FORM='FORMATTED')
OPEN(2,FILE='XYZ',STATUS='OLD',FORM='FORMATTED')
READ(2,210,END=999)X,Y,Z
FORMAT(10.3,2F13.3)
K=0
K=K+1
WRITE(3,300)K,X,Y,Z
FORMAT(3,XY C',I4,3F10.3)
300   FORMAT(3,XY C',I4,3F10.3)
      K=K+1
      WRITE(3,300)K,X,Y,Z
      FORMAT(3,XY C',I4,3F10.3)
      GOT0 10
999   CLOSE(2)
      CLOSE(3)
      END
```

PRILoha cislo 4

C PROGRAM PRO PMG 2
DIMENSION X(4),Y(4),Z(4)
CHARACTER SOUNBR*30,A*20,B*3,E*3
INTEGER STAT,V(8),MM

K=0

J=0

100 OPEN(3,FILE='PMDC2',STATUS='OLD',FORM='FORMATTED')
101 WRITE(5,100) FORMAT('///10X,ZADEJ JEMNO SOUNBRU: ')
102 READ(5,200) SOUNBR
103 FORMAT(A)
200 FORMAT(A)
110 WRITE(*,110) SOUNBR,STAT
111 IF(SOUNBR(1:1),EQ,'.') STOP
112 WRITE(*,110) THEN
113 IF(STAT,NE,0) THEN
114 FORMAT(1IX,NELEZ CIST SOUNBR ,A,KOD CHYBY= ,16)
115 GO TO 1
116 ENDIF
10 READING(2,200,IOSTAT=STAT,STATUS='OLD',FORM='FORMATTED')
11 OPEN(2,FILE=SOUNBR,IOSTAT=STAT,STATUS='OLD',FORM='FORMATTED')
12 READ(2,200,IOSTAT=STAT,END=999) A
13 IF(STAT,NE,0) THEN
14 WRITE(*,120) SOUNBR,STAT
15 FORMAT(1IX,KONEC SOUNBRU ,A,STAT= ,16)
16 GO TO .

120 FORMAT(1IX,KONEC SOUNBRU ,A,STAT= ,16)
121 WRITE(*,120) SOUNBR,STAT
122 IF(STAT,NE,0) THEN
123 READ(2,200) B
124 CONTINUE
32 Z(I)=0.
33 DO 32 I=1,4
34 IF(A,EQ.,SODACE) GO TO 38
35 IF(A,EQ.,EOF) GO TO 999
36 GO TO 10
37 IF(A,EQ.,EOF) GO TO 38
38 DO 32 I=1,4
39 READ(2,50) X(1)
40 IF(B,EQ.,0) GO TO 40
41 X=X+1
42 L=4
43 O=8.
44 IF(X(3),EQ,X(4)) THEN
45 IF(Y(3),EQ,Y(4)) THEN
46 IF(Z(3),EQ,Z(4)) THEN
47 L=3
48 O=6.
49 ENDF

50 FORMAT(F10.3)
51 IF(B,EQ.,33) READ(2,50) Z(4)
52 IF(B,EQ.,32) READ(2,50) Z(3)
53 IF(B,EQ.,31) READ(2,50) Z(2)
54 IF(B,EQ.,30) READ(2,50) Z(1)
55 IF(B,EQ.,29) READ(2,50) Y(4)
56 IF(B,EQ.,28) READ(2,50) Y(3)
57 IF(B,EQ.,27) READ(2,50) Y(2)
58 IF(B,EQ.,26) READ(2,50) Y(1)
59 IF(B,EQ.,25) READ(2,50) X(4)
60 IF(B,EQ.,24) READ(2,50) X(3)
61 IF(B,EQ.,23) READ(2,50) X(2)
62 IF(B,EQ.,22) READ(2,50) X(1)
63 IF(B,EQ.,21) READ(2,50) X(0)
64 IF(B,EQ.,20) READ(2,50) X(1)
65 IF(B,EQ.,19) READ(2,50) X(0)
66 IF(B,EQ.,18) READ(2,50) X(2)
67 IF(B,EQ.,17) READ(2,50) X(1)
68 IF(B,EQ.,16) READ(2,50) X(0)
69 IF(B,EQ.,15) READ(2,50) X(1)
70 IF(B,EQ.,14) READ(2,50) X(0)
71 IF(B,EQ.,13) READ(2,50) X(2)
72 IF(B,EQ.,12) READ(2,50) X(1)
73 IF(B,EQ.,11) READ(2,50) X(0)
74 IF(B,EQ.,10) READ(2,50) X(1)
75 IF(B,EQ.,9) READ(2,50) X(0)
76 IF(B,EQ.,8) READ(2,50) X(1)
77 IF(B,EQ.,7) READ(2,50) X(0)
78 IF(B,EQ.,6) READ(2,50) X(1)
79 IF(B,EQ.,5) READ(2,50) X(0)
80 IF(B,EQ.,4) READ(2,50) X(1)
81 IF(B,EQ.,3) READ(2,50) X(0)
82 IF(B,EQ.,2) READ(2,50) X(1)
83 IF(B,EQ.,1) READ(2,50) X(0)
84 IF(B,EQ.,0) READ(2,50) X(1)
85 GO TO 31
86 X=X+1
87 L=4
88 O=8.
89 ENDF

% 671*

N10690*

N12540*

N14; PLEASE INSERT NEW TOOL: VRO*

N16G0TM19*

N18T1G17S250*

N20G0Z0,0M92*

N22M06*

N24G00Z1,0*

N26G00X0,0Y0,0M03T1G17S1000*

N30G83P01-1,0P02-1,502P03-1,502P040,0P051000*

N32G79*

N34G60X8,816Y,0M99*

N36G60X20,019Y0,0M99*

N38G60X27,577Y,001M99*

N46G60X27,577M99*

N48G60X20,019Y0,0M99*

N50G60X8,816Y,0M99*

N52G60X0,0Y,001M99*

N54G60X0,0Y,001*

N56G60Z-9,0*

N58G60X0,0M99*

N60G60X8,816Y,0M99*

N62G60X20,019Y0,0M99*

N64G60X27,577Y,001M99*

N68G60X37,240M99*

N72G60Z-14,0*

N74G60X42,072M99*

N76G60X33,533M99*

N78G60X27,577M99*

N80G60X20,019Y0,0M99*

N82G60X8,816Y,0M99*

N84G60X0,0Y,001*

N86G60X0,0Y,001*

N88G60Z-19,0*

N90G60X0,0M99*

N94G60X20,019Y0,0M99*

N96G60X27,577Y,001M99*

N98G60X33,533M99*

N99G60X27,577Y,001M99*

N99G60X42,321Y0,0M99*

N100G60X42,321Y0,0M99*

N102G60X46,93Y0,001M99*

N104G600X50,0Y,0*

N106G60Z-22,204*

N108G60X50,0M99*

N110G60X42,321Y0,0M99*

N114G60X27,577M99*

N116G60X20,019Y0,0M99*

N118G60X8,816Y,0M99*

N120G60Z-21,0*

N122G60X0,0Y0,0*

N124G60X0,0M99*

N126G60X20,019Y0,0*

N128G60X0,0M99*

N129G60X0,0M99*

N128G60X27,577M99*

N129G60X0,0M99*

N130G60X0,0Y,0*

N131G60X0,0M99*

N132G60X0,0M99*

N133G60X0,0M99*

N134G60X0,0M99*

N135G60X0,0M99*

N136G60X0,0M99*

N138G60X20,019Y0,0M99*

N139G60X27,577Y,001M99*

N140G60X32,408Y,001*

N142G60Z-4,0*

N144G60X32,408M99*

N146G60X27,577M99*

N148G60X20,019Y0,0M99*

N150G60X8,816Y,0M99*

N152G60X0,0Y,001M99*

N154G60X0,0Y,001*

N156G60Z-9,0*

N158G60X0,0M99*

N160G60X8,816Y,0M99*

N162G60X20,019Y0,0M99*

N164G60X27,577Y,001M99*

N168G60X37,240M99*

N172G60Z-14,0*

N174G60X42,072M99*

N176G60X33,533M99*

N178G60X27,577M99*

N180G60X20,019Y0,0M99*

N182G60X8,816Y,0M99*

N184G60X0,0Y,001*

N186G60X0,0Y,001*

N188G60Z-19,0*

N190G60X0,0M99*

N194G60X20,019Y0,0M99*

N196G60X27,577Y,001M99*

N198G60X33,533M99*

N199G60X27,577Y,001M99*

N200G60X42,321Y0,0M99*

N202G60X46,93Y0,001M99*

N204G60X50,0Y,0*

N206G60X20,019Y0,0M99*

N208G60X0,0Y0,0M03T1G17S1000*

N212G60Z1,0*

N214G60X0,0M92*

N222G60X6*

N224G60Z0,0M92*

N226G60X0,0M92*

N228G60X0,0M92*

N232G60Z-27,220*

N234G60X0,0M92*

N236G60X20,019Y0,0M99*

N238G60X27,577Y,001M99*

N240G60X32,408Y,001*

N242G60Z-4,0*

N244G60X32,408M99*

N246G60X27,577M99*

N248G60X20,019Y0,0M99*

N250G60X8,816Y,0M99*

N252G60X0,0Y,001M99*

N254G60X0,0Y,001*

N256G60Z-9,0*

N258G60X0,0M99*

N260G60X8,816Y,0M99*

N262G60X0,0Y,001*

N264G60X27,577Y,001M99*

N266G60X33,533M99*

N268G60X37,240M99*

N270G60Z-14,0*

N272G60X42,072Y,001*

N274G60X42,072M99*

N276G60X33,533M99*

N278G60X27,577M99*

N280G60X20,019Y0,0M99*

N282G60X8,816Y,0M99*

N284G60X0,0Y,001*

N286G60X0,0Y,001*

N288G60Z-19,0*

N290G60X0,0M99*

N292G60X8,816Y,0M99*

N294G60X0,0Y,001*

N296G60X0,0Y,001*

N298G60X8,816Y,0M99*

N300G60X0,0Y0,0M03T1G17S1000*

N32G79*

N34G60X8,816Y,0M99*

N36G60X20,019Y0,0M99*

N38G60X27,577Y,001M99*

N40G60X32,408Y,001*

N42G60Z-4,0*

N44G60X32,408M99*

N46G60X27,577M99*

N48G60X20,019Y0,0M99*

N50G60X8,816Y,0M99*

N52G60X0,0Y,001M99*

N54G60X0,0Y,001*

N56G60Z-9,0*

N58G60X0,0M99*

N60G60X8,816Y,0M99*

N62G60X20,019Y0,0M99*

N64G60X27,577Y,001M99*

N66G60X33,533M99*

N68G60X37,240M99*

N70G60Z-14,0*

N72G60X42,072Y,001*

N74G60X42,072M99*

N76G60X33,533M99*

N78G60X27,577M99*

N80G60X20,019Y0,0M99*

N82G60X8,816Y,0M99*

N84G60X0,0Y,001*

N86G60X0,0Y,001*

N88G60Z-19,0*

N90G60X0,0M99*

N92G60X8,816Y,0M99*

N94G60X20,019Y0,0M99*

N96G60X27,577Y,001M99*

N98G60X33,533M99*

N99G60X27,577M99*

N100G60X42,321Y0,0M99*

N102G60X46,93Y0,001M99*

N104G60X50,0Y,0*

N106G60Z-22,204*

N108G60X50,0M99*

N110G60X42,321Y0,0M99*

N114G60X27,577M99*

N116G60X20,019Y0,0M99*

N118G60X8,816Y,0M99*

N120G60Z-21,0*

N122G60X0,0Y0,0*

N124G60X27,577M99*

N126G60X0,0M99*

N128G60X20,019Y0,0M99*

N130G60X0,0Y0,0M03T1G17S1000*

N132G79*

N134G60X8,816Y,0M99*

N136G60X20,019Y0,0M99*

N138G60X27,577Y,001M99*

N140G60X32,408Y,001*

N142G60Z-4,0*

N144G60X32,408M99*

N146G60X27,577M99*

N148G60X0,0M92*

N150G60Z0,0M92*

N152G60Z1,0*

N154G60X0,0M92*

N156G60Z1,0*

N158G60Z0,0M92*

N160G60Z1,0*

N162G60Z0,0M92*

N164G60Z1,0*

N166G60Z0,0M92*

N168G60Z1,0*

N170G60Z0,0M92*

N172G60Z1,0*

N174G60Z0,0M92*

N176G60Z1,0*

N178G60Z0,0M92*

N180G60Z1,0*

N182G60Z0,0M92*

N184G60Z1,0*

N186G60Z0,0M92*

N188G60Z1,0*

N190G60Z0,0M92*

N192G60Z1,0*

N194G60Z0,0M92*

<

N130G00X20,019M99*
N132G00X27,57TY ,001M99*
N134G00X33,533M99*
N136G00X42,321Y0,0M99*
N138G00X31,082M99*
N142G00Z-34,0*
N144G00X42,321Y0,0M99*
N146G00X42,321Y0,0M99*
N148G00X33,533M99*
N150G00X27,57TM99*
N152G00X31,082Y ,001*
N154G00Z-39,0*
N166G00Z-44,0*
N168G00X50,0M99*
N170G00X42,321Y0,0M99*
N172G00X33,533Y ,001M99*
N174G00X35,146Y ,001*
N176G00Z-49,0*
N178G00X35,146M99*
N182G00X42,321Y0,0M99*
N184G00X50,0Y0,0*
N192G00X42,321M99*
N194G00Z1,0,*
N196G00X3-3,275Y8,999*
N198G00X-3,275M99*
N202G00X12,060Y21,867M99*
N204G00X17,849Y26,725M99*
N206G00X21,550M99*
N208G00Z-4,0*
N214G00X3,478Y14,666M99*
N216G00X-3,276Y8,999M99*
N218G00Z-3,276Y8,999*
N220G00X12,060Y21,867M99*
N222G00X3,478Y14,666M99*
N224G00X17,849Y26,725M99*
N226G00X12,060Y21,867M99*
N228G00X17,849Y26,725M99*
N230G00X22,412Y30,554M99*
N232G00X25,252Y32,937M99*
N234G00X28,953Y36,043*
N236G00Z-14,0*
N238G00X28,953M99*
N244G00X12,060Y21,867M99*
N246G00X17,849Y26,725M99*
N248G00X3,478Y14,666M99*
N250G00X-3,276Y8,999*
N252G00Z-19,0*
N254G00X-3,276M99*
N256G00X3,478Y14,666M99*
N258G00X12,060Y21,867M99*
N260G00X17,849Y26,725M99*
N262G00X17,849Y26,725M99*
N264G00X22,412Y30,554M99*
N266G00X28,953Y36,043*
N268G00X3,478Y14,666M99*
N270G00X12,060Y21,867M99*
N272G00X3,478Y14,666M99*
N274G00X-3,276M99*
N276G00Z-9,0*

N262G00X22, 412Y30, 554M99*
N254G00X29, 145Y36, 203M99*
N266G00X32, 654Y39, 148M99*
N268G00X35, 027Y41, 139*
N270G00Z-22, 204*
N272G00X35, 027M99*
N274G00X29, 145Y36, 203M99*
N276G00X22, 412Y30, 554M99*
N278G00X17, 849Y26, 725M99*
N280G00X12, 060Y21, 867*
N288G00X-3, 276M99*
N286G00X-3, 276Y8, 999*
N284G00Z-21, 0*
N282G00X3, 478Y14, 666M99*
N283G00X12, 060Y21, 867M99*
N278G00X17, 849Y26, 725M99*
N276G00X22, 412Y30, 554M99*
N274G00X29, 145Y36, 203M99*
N294G00X17, 849Y26, 725M99*
N296G00X12, 060M99*
N294G00X-27, 220*
N292G00X12, 060Y21, 867*
N288G00X-3, 276M99*
N304G00X35, 026Y41, 139*
N308G00X35, 026M99*
N310G00X29, 145Y36, 203M99*
N312G00X22, 412Y30, 554M99*
N314G00X17, 849Y26, 725M99*
N316G00X20, 534M99*
N318G00Z-39, 0*
N320G00X20, 534M99*
N322G00X22, 412Y30, 554M99*
N324G00X29, 145Y36, 203M99*
N326G00X22, 412Y30, 554M99*
N328G00X35, 026Y41, 139*
N330G00Z-44, 0*
N332G00X35, 026M99*
N334G00X29, 145Y36, 203M99*
N336G00X22, 412Y30, 554M99*
N338G00X23, 647Y31, 591*
N340G00Z-49, 0*
N342G00X23, 647M99*
N344G00X29, 145Y36, 203M99*
N346G00X35, 026Y41, 139M99*
N348G00X35, 027Y41, 138*
N350G00Z-52, 998*
N352G00X35, 027M99*
N354G00X29, 145Y36, 203M99*
N356G00X24, 217Y32, 068M99*
N358G01Z-20, 0*
N362M19*
N364G00Z-20, 0M92*
N366M02*
N368M02*

ПРИЛОЖЕНИЯ

10

TEXT C 12.060000,21.867000 1 0 64
ELEV -5.000000
TEXT C 3.4780000,14.6660000 1 0 65
ELEV -5.000000
TEXT C -3.2760000,8.9990000 1 0 66
ELEV -10.000000
TEXT C 3.4780000,14.6660000 1 0 68
ELEV -10.000000
TEXT C 12.060000,21.8670000 1 0 69
ELEV -10.000000
TEXT C 17.8490000,26.7250000 1 0 70
ELEV -10.000000
TEXT C 22.4120000,30.5540000 1 0 71
ELEV -10.000000
TEXT C 17.8490000,26.7250000 1 0 72
ELEV -15.000000
TEXT C 28.0530000,36.0430000 1 0 73
ELEV -15.000000
TEXT C 22.4120000,30.5540000 1 0 74
ELEV -15.000000
TEXT C 17.8490000,26.7250000 1 0 75
ELEV -15.000000
TEXT C 12.060000,21.8670000 1 0 76
ELEV -15.000000
TEXT C 3.4780000,14.6660000 1 0 77
ELEV -15.000000
TEXT C -3.2760000,8.9990000 1 0 78
ELEV -20.000000
TEXT C 29.1450000,36.2030000 1 0 79
ELEV -23.204000
TEXT C 35.0270000,41.1390000 1 0 80
ELEV -23.204000
TEXT C 22.4120000,30.5540000 1 0 81
ELEV -23.204000
TEXT C 17.8490000,26.7250000 1 0 82
ELEV -20.000000
TEXT C 22.4120000,30.5540000 1 0 83
ELEV -20.000000
TEXT C 29.1450000,36.2030000 1 0 84
ELEV -23.204000
TEXT C 32.6540000,39.1480000 1 0 85
ELEV -20.000000
TEXT C 29.1450000,36.2030000 1 0 86
ELEV -23.204000
TEXT C 35.0270000,41.1390000 1 0 87
ELEV -23.204000
TEXT C 29.1450000,36.2030000 1 0 88
ELEV -23.204000
TEXT C 22.4120000,30.5540000 1 0 89
ELEV -23.204000
TEXT C 17.8490000,26.7250000 1 0 90
ELEV -23.204000
TEXT C 12.060000,21.8670000 1 0 91
ELEV -22.000000
TEXT C -3.2760000,8.9990000 1 0 92
ELEV -28.220000
TEXT C 12.060000,21.8670000 1 0 93
ELEV -28.220000
TEXT C 22.4120000,30.5540000 1 0 94
ELEV -28.220000
TEXT C 29.1450000,36.2030000 1 0 95
ELEV -28.220000
TEXT C 29.1450000,36.2030000 1 0 96
ELEV -28.220000

TEXT C 35.0270000,41.1380000 1 0 97
ELEV -35.000000
TEXT C 35.0260000,41.1390000 1 0 98
ELEV -35.000000
TEXT C 29.1450000,36.2030000 1 0 99
ELEV -35.000000
TEXT C 22.4120000,30.5540000 1 0 100
ELEV -35.000000
TEXT C 17.8490000,26.7250000 1 0 101
ELEV -40.000000
TEXT C 20.5340000,28.9780000 1 0 102
ELEV -40.000000
TEXT C 22.4120000,30.5540000 1 0 103
ELEV -40.000000
TEXT C 29.1450000,36.2030000 1 0 104
ELEV -40.000000
TEXT C 35.0260000,41.1390000 1 0 105
ELEV -45.000000
TEXT C 36.0260000,41.1390000 1 0 106
ELEV -45.000000
TEXT C 29.1450000,36.2030000 1 0 107
ELEV -45.000000
TEXT C 23.6470000,31.5910000 1 0 109
ELEV -50.000000
TEXT C 29.1450000,36.2030000 1 0 110
ELEV -50.000000
TEXT C 35.0260000,41.1390000 1 0 111
ELEV -53.998000
TEXT C 35.0270000,41.1380000 1 0 112
ELEV -53.998000
TEXT C 29.1450000,36.2030000 1 0 113
ELEV -53.998000
TEXT C 24.2170000,32.0680000 1 0 114

ELVE -2,5000000 TEXT C 2,25500000,5,91600000 1 0 1
TEXT C 11,0930000,9,13300000 1 0 2
TEXT C 19,3760000,12,1480000 1 0 3
ELVE -7,5000000 TEXT C 25,0940000,14,2300000 1 0 4
ELVE -7,5000000 TEXT C 19,3760000,12,1480000 1 0 5
ELVE -7,5000000 TEXT C 11,0930000,9,13300000 1 0 6
ELVE -7,5000000 TEXT C 2,25400000,5,91700000 1 0 7
ELVE -7,5000000 TEXT C 11,0930000,9,13300000 1 0 8
ELVE -12,500000 TEXT C 25,3430000,14,3200000 1 0 9
ELVE -12,500000 TEXT C 19,3760000,12,1480000 1 0 10
ELVE -12,500000 TEXT C 30,0676000,15,2610000 1 0 12
ELVE -17,500000 TEXT C 11,0930000,9,13300000 1 0 13
ELVE -17,500000 TEXT C 31,7980000,16,6700000 1 0 14
ELVE -2,53400000,14,3200000 1 0 14
ELVE -21,301000 TEXT C 2,25400000,5,91700000 1 0 15
ELVE -21,602000 TEXT C 11,0930000,9,13300000 1 0 16
ELVE -21,602000 TEXT C 11,0930000,9,13300000 1 0 17
ELVE -21,602000 TEXT C 11,0930000,9,13300000 1 0 18
ELVE -21,602000 TEXT C 2,25400000,5,91600000 1 0 19
ELVE -21,602000 TEXT C 11,0930000,9,13300000 1 0 20
ELVE -21,602000 TEXT C 25,3430000,14,3200000 1 0 21
ELVE -21,602000 TEXT C 11,0930000,9,13300000 1 0 22
ELVE -21,602000 TEXT C 31,8530000,16,6890000 1 0 23
ELVE -25,712000 TEXT C 25,3430000,14,3200000 1 0 24
ELVE -25,712000 TEXT C 39,1220000,19,3250000 1 0 25
ELVE -25,712000 TEXT C 31,8530000,16,6890000 1 0 26
ELVE -25,712000 TEXT C 19,3760000,12,1480000 1 0 27
ELVE -31,610000 TEXT C 25,3430000,14,3200000 1 0 28
ELVE -31,610000 TEXT C 31,8530000,16,6890000 1 0 29
ELVE -31,610000 TEXT C 39,1220000,19,3250000 1 0 30

TEXT C 39,1220000,19,3360000 I 0 31
ELEV -27,500000
TEXT C 31,8530000,16,6890000 I 0 32
ELEV -37,500000
TEXT C 26,1170000,14,6020000 I 0 33
ELEV -42,500000
TEXT C 31,8530000,16,6890000 I 0 34
ELEV -42,500000
TEXT C 39,1220000,19,3360000 I 0 35
ELEV -47,500000
TEXT C 39,1230000,19,3360000 I 0 36
ELEV -47,500000
TEXT C 32,2090000,16,8190000 I 0 37
ELEV -51,999000
TEXT C 32,7290000,17,0080000 I 0 38
ELEV -51,999000
TEXT C 39,1230000,19,3360000 I 0 39
ELEV -51,999000

PRILIOHA CISLID 11

SECTION 2
ENTITIES 0
3DFACE 0
8 0
62 0
5 0
10 0
0.0 0
20 0
0.0 0
10 0
5 0
12 0
22 0
14.666 0
8.816 0
21 0
0.0 0
20 0
0.001 0
30 0
-5.0 0
31 0
0.0 0
21 0
8.816 0
11 0
-5.0 0
12 0
3.478 0
14.666 0
-3.276 0
13 0
-5.0 0
32 0
23 0
8.999 0
-5.0 0
33 0
22 0
-3.276 0
13 0
-5.0 0
32 0
23 0
8.999 0
0 0
8 0
62 0
5 0

13
26.725
22
17.849
12
0.001
21
27.577
11
0.0
20
20.019
10
5
62
0
8
3DFACE
0
-5.0
33
14.666
23
3.478
13
-5.0
32
21.867
22
12.06
12
-5.0
31
0.0
21
20.019
11
-5.0
30
0.0
20
8.816
10
5
62
0
8
3DFACE
0
14.666
23
3.478
13
21.867
22
12.06
12
0.0
21
20.019
11
0.0
20
8.816
10
5

5	20.0119	10	0.0.	3DFACE
62	12.06	21	0.001	3DFACE
8	21.867	23	0.001	3DFACE
0	12.06	21	20	3DFACE
62	12.06	21	21	3DFACE
11	12.06	22	31	3DFACE
5.0	12.06	22	32	3DFACE
30	12.06	23	33	3DFACE
0.0	12.06	24	34	3DFACE
5	27.577	25	35	3DFACE
5.0	27.577	26	36	3DFACE
30	27.577	27	37	3DFACE
0.0	27.577	28	38	3DFACE
5.0	27.577	29	39	3DFACE
30	27.577	30	40	3DFACE
0.0	27.577	31	41	3DFACE
5.0	27.577	32	42	3DFACE
30	27.577	33	43	3DFACE
0.0	27.577	34	44	3DFACE
5.0	27.577	35	45	3DFACE
30	27.577	36	46	3DFACE
0.0	27.577	37	47	3DFACE
5.0	27.577	38	48	3DFACE
30	27.577	39	49	3DFACE
0.0	27.577	40	50	3DFACE
5.0	27.577	41	51	3DFACE
30	27.577	42	52	3DFACE
0.0	27.577	43	53	3DFACE
5.0	27.577	44	54	3DFACE
30	27.577	45	55	3DFACE
0.0	27.577	46	56	3DFACE
5.0	27.577	47	57	3DFACE
30	27.577	48	58	3DFACE
0.0	27.577	49	59	3DFACE
5.0	27.577	50	60	3DFACE

20
20.019
10
5
62
0
8
3DFACE
0
-5.0
33
21.867
23
12.06
13
-5.0
32
26.725
22
17.849
12
-5.0
31
0.001
21
27.577
11
-5.0
30
0.0
20
20.019
10
5
62
0
8
3DFACE
0
-10.0
33
26.725
23
17.849
13
-10.0
32
30.554
22
12
-10.0
31
0.001
21
33.533
11
-10.0
30
0.001
20
27.577
10
5
62
0

22
3.478
12
-10.0
31
0.0
21
8.816
11
-10.0
30
0.001
20
0.0
10
5
62
0
8
3DFACE
0
-5.0
33
8.999
23
-3.276
13
-5.0
32
14.666
22
3.478
12
-5.0
31
0.0
21
8.816
11
-5.0
30
0.001
20
0.0
10
5
62
0
8
3DFACE
0
-10.0
33
14.666
23
3.478
13
-10.0
32
21.867
12.06
22
-10.0
31
0.0

23
-3.276
13
-15.0
32
14.666
22
3.478
12
-15.0
31
0.0
21
8.816
11
-15.0
30
0.001
20
0.0
10
2
62
0
8
3DFACE
0
-10.0
33
8.999
23
-3.276
13
-10.0
32
14.666
22
3.478
12
-10.0
31
0.0
21
8.816
11
-10.0
30
0.001
20
0.0
10
2
62
0
8
3DFACE
0
-10.0
33
8.999
23
-3.276
13
-10.0
32
14.666

8.999
33
-15.0
0
8
3DFACE
0
62
2
10
8.816
0.0
20
0.0
30
-10.0
11
20.019
0.0
21
20.06
12
22
21.867
-10.0
13
3.478
23
14.666
33
-10.0
0
ENDSEC
0
EOF

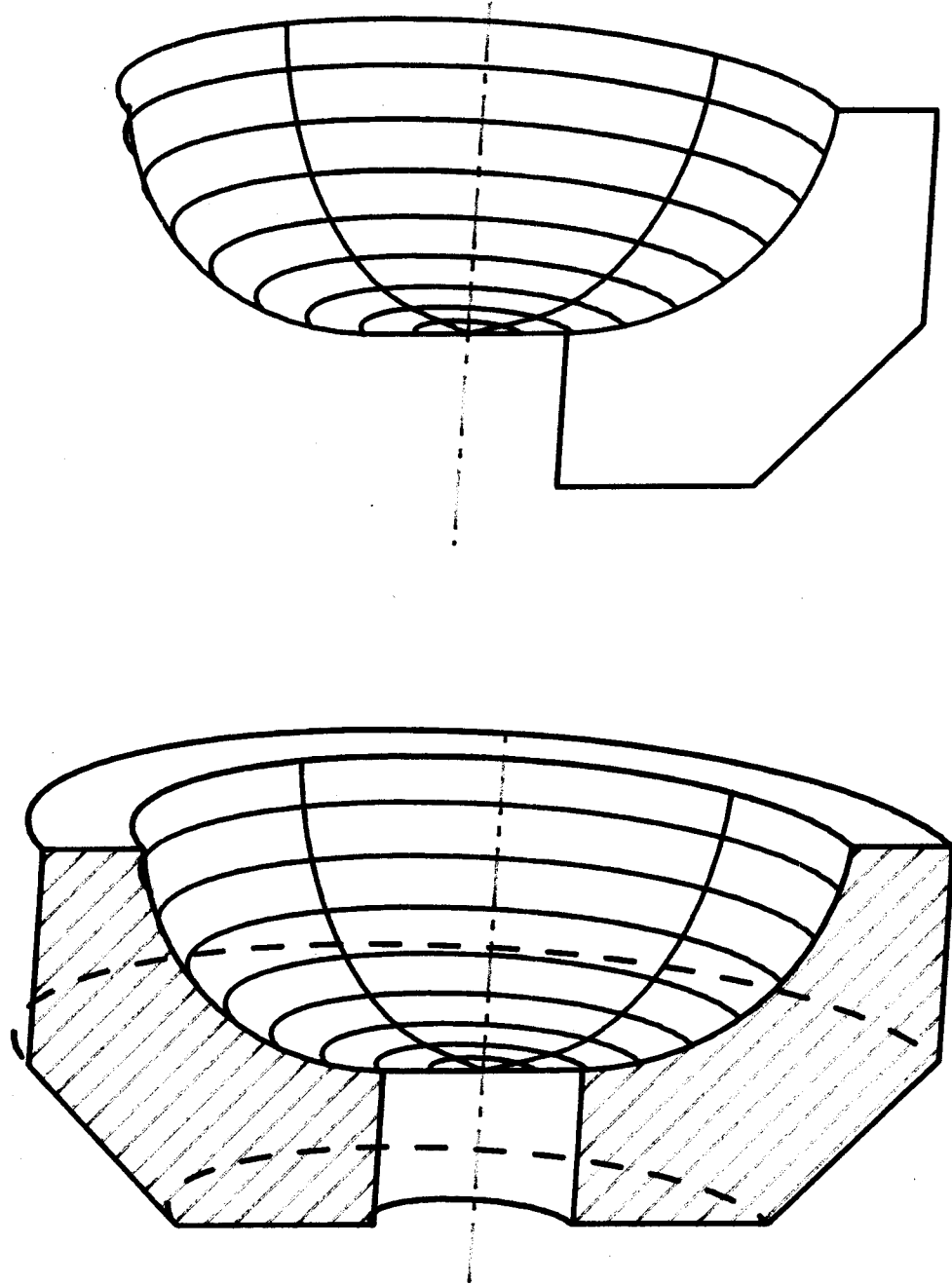
XY C 1	.000	.000	.000	.000	.000	17.849	26.725	.000
XY C 2	8.816	.000	.000	.000	.000	20.019	12.060	21.867
XY C 3	20.019	.000	.000	.000	.000	32.408	27.577	.001
XY C 4	.000	.000	.000	.000	.000	33.533	42.072	.001
XY C 5	.000	.000	.000	.000	.000	42.321	27.577	.001
XY C 6	.000	.000	.000	.000	.000	46.903	20.019	.000
XY C 7	.000	.000	.000	.000	.000	46.903	27.577	.001
XY C 8	.000	.000	.000	.000	.000	8.816	20.019	.001
XY C 9	.000	.000	.000	.000	.000	8.816	27.577	.001
XY C 10	.000	.000	.000	.000	.000	8.816	20.019	.001
XY C 11	.000	.000	.000	.000	.000	8.816	27.577	.001
XY C 12	.000	.000	.000	.000	.000	20.019	27.577	.001
XY C 13	.000	.000	.000	.000	.000	20.019	42.321	.001
XY C 14	.000	.000	.000	.000	.000	33.533	42.321	.001
XY C 15	.000	.000	.000	.000	.000	42.321	27.577	.001
XY C 16	.000	.000	.000	.000	.000	46.903	20.019	.001
XY C 17	.000	.000	.000	.000	.000	8.816	20.019	.001
XY C 18	.000	.000	.000	.000	.000	33.533	27.577	.001
XY C 19	.000	.000	.000	.000	.000	20.019	27.577	.001
XY C 20	.000	.000	.000	.000	.000	8.816	20.019	.001
XY C 21	.000	.000	.000	.000	.000	8.816	27.577	.001
XY C 22	.000	.000	.000	.000	.000	20.019	27.577	.001
XY C 23	.000	.000	.000	.000	.000	8.816	20.019	.001
XY C 24	.000	.000	.000	.000	.000	20.019	27.577	.001
XY C 25	.000	.000	.000	.000	.000	20.019	42.321	.001
XY C 26	.000	.000	.000	.000	.000	33.533	27.577	.001
XY C 27	.000	.000	.000	.000	.000	33.533	42.321	.001
XY C 28	.000	.000	.000	.000	.000	46.903	20.019	.001
XY C 29	.000	.000	.000	.000	.000	50.000	20.019	.001
XY C 30	.000	.000	.000	.000	.000	42.321	33.533	.001
XY C 31	.000	.000	.000	.000	.000	42.321	27.577	.001
XY C 32	.000	.000	.000	.000	.000	20.019	27.577	.001
XY C 33	.000	.000	.000	.000	.000	20.019	27.577	.001
XY C 34	.000	.000	.000	.000	.000	8.816	20.019	.001
XY C 35	.000	.000	.000	.000	.000	8.816	27.577	.001
XY C 36	.000	.000	.000	.000	.000	20.019	27.577	.001
XY C 37	.000	.000	.000	.000	.000	20.019	42.321	.001
XY C 38	.000	.000	.000	.000	.000	33.533	27.577	.001
XY C 39	.000	.000	.000	.000	.000	20.019	27.577	.001
XY C 40	.000	.000	.000	.000	.000	50.000	42.321	.001
XY C 41	.000	.000	.000	.000	.000	50.000	27.577	.001
XY C 42	.000	.000	.000	.000	.000	50.000	33.533	.001
XY C 43	.000	.000	.000	.000	.000	50.000	27.577	.001
XY C 44	.000	.000	.000	.000	.000	50.000	42.321	.001
XY C 45	.000	.000	.000	.000	.000	31.082	27.577	.001
XY C 46	.000	.000	.000	.000	.000	33.533	20.019	.001
XY C 47	.000	.000	.000	.000	.000	42.321	33.533	.001
XY C 48	.000	.000	.000	.000	.000	50.000	42.321	.001
XY C 49	.000	.000	.000	.000	.000	50.000	27.577	.001
XY C 50	.000	.000	.000	.000	.000	42.321	27.577	.001
XY C 51	.000	.000	.000	.000	.000	33.533	42.321	.001
XY C 52	.000	.000	.000	.000	.000	35.146	27.577	.001
XY C 53	.000	.000	.000	.000	.000	42.321	35.146	.001
XY C 54	.000	.000	.000	.000	.000	50.000	35.146	.001
XY C 55	.000	.000	.000	.000	.000	50.000	42.321	.001
XY C 56	.000	.000	.000	.000	.000	50.000	35.146	.001
XY C 57	.000	.000	.000	.000	.000	35.888	35.888	.000
XY C 58	.000	.000	.000	.000	.000	42.321	35.888	.000
XY C 59	.000	.000	.000	.000	.000	3.478	3.478	.000
XY C 60	.000	.000	.000	.000	.000	12.060	12.060	.000
XY C 61	.000	.000	.000	.000	.000	17.849	17.849	.000

XY C 62	21,550	29,831	-5,000	XY C 63	17,849	26,725	-5,000	XY C 64	12,060	21,867	-5,000	XY C 65	3,478	14,666	-5,000	XY C 66	-3,276	8,999	-5,000	XY C 67	-3,276	8,999	-10,000	XY C 68	3,478	14,666	-10,000	XY C 69	12,060	21,867	-10,000	XY C 70	17,849	26,725	-10,000	XY C 71	22,412	25,252	-10,000	XY C 72	28,953	32,937	-10,000	XY C 73	36,043	30,554	-15,000	XY C 74	28,953	32,937	-15,000	XY C 75	17,849	26,725	-15,000	XY C 76	12,060	21,867	-15,000	XY C 77	3,478	14,666	-15,000	XY C 78	-3,276	8,999	-15,000	XY C 79	-3,276	8,999	-20,000	XY C 80	12,060	21,867	-20,000	XY C 81	3,478	14,666	-20,000	XY C 82	-3,276	8,999	-20,000	XY C 83	22,412	30,554	-20,000	XY C 84	29,145	32,654	-20,000	XY C 85	36,203	30,554	-20,000	XY C 86	39,148	32,654	-20,000	XY C 87	29,145	32,654	-23,204	XY C 88	22,412	30,554	-23,204	XY C 89	17,849	26,725	-23,204	XY C 90	12,060	21,867	-23,204	XY C 91	3,478	14,666	-23,204	XY C 92	-3,276	8,999	-23,204	XY C 93	29,145	32,654	-22,000	XY C 94	17,849	26,725	-28,220	XY C 95	22,412	30,554	-28,220	XY C 96	29,145	36,203	-28,220	XY C 97	35,027	41,138	-28,220	XY C 98	35,026	41,139	-35,000	XY C 99	29,145	36,203	-35,000	XY C 100	22,412	30,554	-35,000	XY C 101	17,849	26,725	-35,000	XY C 102	20,534	28,978	-40,000	XY C 103	20,534	30,554	-40,000	XY C 104	29,145	36,203	-40,000	XY C 105	35,026	41,139	-40,000	XY C 106	35,026	41,139	-45,000	XY C 107	29,145	36,203	-45,000	XY C 108	22,412	30,554	-45,000	XY C 109	23,647	31,591	-50,000	XY C 110	29,145	36,203	-50,000	XY C 111	35,026	41,138	-53,998	XY C 112	35,027	41,138	-53,998	XY C 113	29,145	36,203	-53,998
---------	--------	--------	--------	---------	--------	--------	--------	---------	--------	--------	--------	---------	-------	--------	--------	---------	--------	-------	--------	---------	--------	-------	---------	---------	-------	--------	---------	---------	--------	--------	---------	---------	--------	--------	---------	---------	--------	--------	---------	---------	--------	--------	---------	---------	--------	--------	---------	---------	--------	--------	---------	---------	--------	--------	---------	---------	--------	--------	---------	---------	-------	--------	---------	---------	--------	-------	---------	---------	--------	-------	---------	---------	--------	--------	---------	---------	-------	--------	---------	---------	--------	-------	---------	---------	--------	--------	---------	---------	--------	--------	---------	---------	--------	--------	---------	---------	--------	--------	---------	---------	--------	--------	---------	---------	--------	--------	---------	---------	--------	--------	---------	---------	--------	--------	---------	---------	-------	--------	---------	---------	--------	-------	---------	---------	--------	--------	---------	---------	--------	--------	---------	---------	--------	--------	---------	---------	--------	--------	---------	---------	--------	--------	---------	---------	--------	--------	---------	---------	--------	--------	---------	----------	--------	--------	---------	----------	--------	--------	---------	----------	--------	--------	---------	----------	--------	--------	---------	----------	--------	--------	---------	----------	--------	--------	---------	----------	--------	--------	---------	----------	--------	--------	---------	----------	--------	--------	---------	----------	--------	--------	---------	----------	--------	--------	---------	----------	--------	--------	---------	----------	--------	--------	---------	----------	--------	--------	---------

EL 156 E 1 N 1 59 58 9 8 65 66
EL 156 E 2 N 2 59 60 8 7 64 65
EL 156 E 3 N 3 4 61 60 7 6 63 64
EL 156 E 4 N 5 62 63 13 14 71 70
EL 156 E 5 N 6 64 65 11 12 69 68
EL 156 E 6 N 7 66 65 12 13 70 69
EL 156 E 7 N 8 65 66 10 11 68 67
EL 156 E 8 N 10 68 67 21 20 77 73
EL 156 E 9 N 11 69 68 20 19 76 77
EL 156 E 10 N 12 70 69 19 18 75 76
EL 156 E 11 N 13 71 72 17 16 73 74
EL 156 E 12 N 14 72 71 17 16 74 75
EL 156 E 13 N 15 73 74 26 27 84 83
EL 156 E 14 N 16 74 75 25 26 83 82
EL 156 E 15 N 17 75 76 24 25 82 81
EL 156 E 16 N 18 76 77 23 24 81 80
EL 156 E 17 N 20 77 78 22 23 80 79
EL 156 E 18 N 22 78 80 79 25 34 91
EL 156 E 19 N 23 81 80 34 33 90 91
EL 156 E 20 N 24 82 81 35 32 89 90
EL 156 E 21 N 25 83 82 31 88 89
EL 156 E 22 N 26 84 83 31 30 87 88
EL 156 E 23 N 27 85 84 30 29 86 87
EL 156 E 24 N 28 86 87 39 40 97 96
EL 156 E 25 N 29 87 88 38 29 96 95
EL 156 E 26 N 30 87 88 39 44 100 101
EL 156 E 27 N 31 89 90 37 35 94 93
EL 156 E 28 N 32 89 90 37 35 94 93
EL 156 E 29 N 33 89 96 35 42 99 100
EL 156 E 30 N 34 89 96 35 43 42 98
EL 156 E 31 N 35 95 94 44 43 105 104
EL 156 E 32 N 36 99 100 46 47 104 103
EL 156 E 33 N 44 43 100 101 45 46 103 102
EL 156 E 34 N 45 46 104 103 51 50 107 108
EL 156 E 35 N 47 48 105 104 50 49 106 107
EL 156 E 36 N 50 49 106 107 53 54 111 110
EL 156 E 37 N 51 50 107 108 52 53 110 109
EL 156 E 38 N 52 53 110 109 57 56 113 114
EL 156 E 39 N 53 54 111 110 58 55 112 113

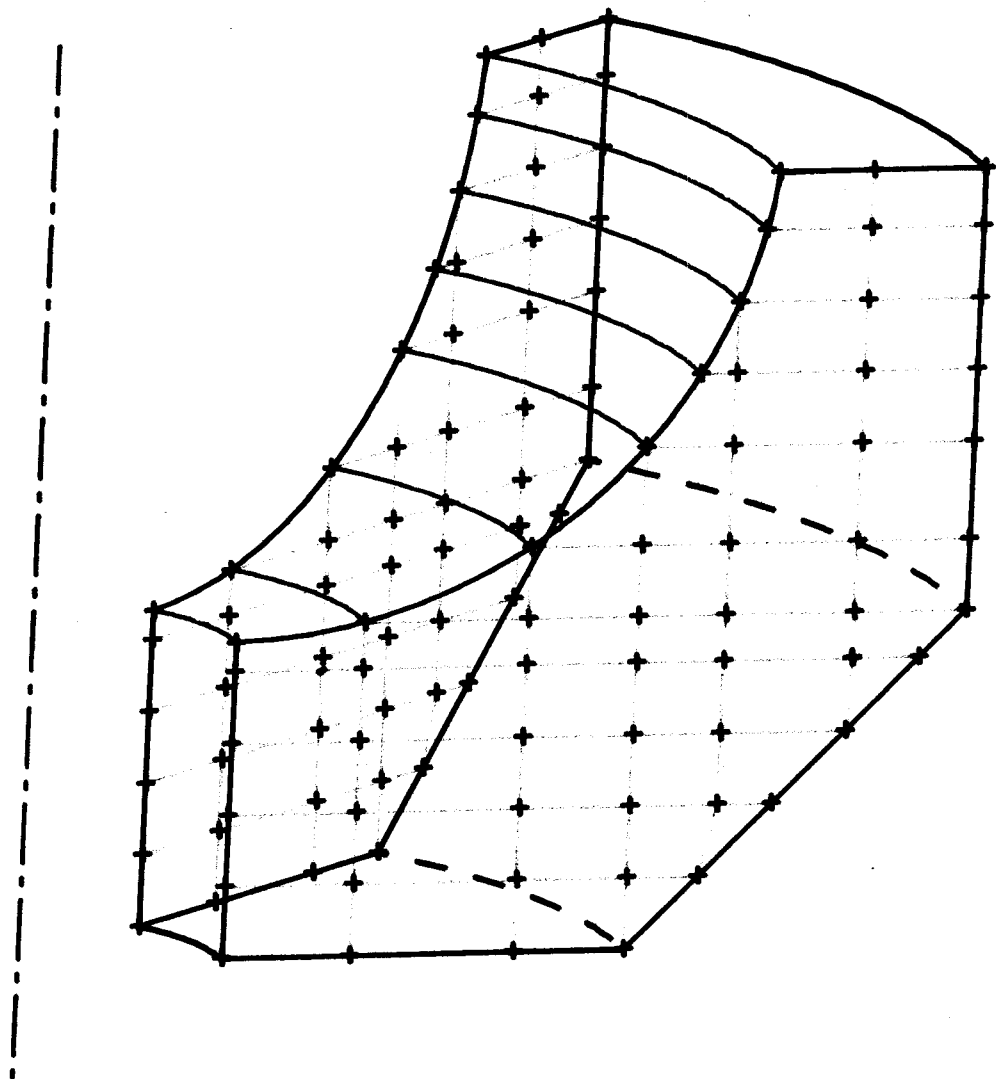
1	2,255	5,946	-2,500
2	11,093	9,133	-2,500
3	19,376	12,148	-2,500
4	25,094	14,230	-7,500
5	19,376	12,148	-7,500
6	11,093	9,133	-7,500
7	2,254	5,947	-7,500
8	2,254	5,947	-12,500
9	11,093	9,133	-12,500
10	19,376	12,148	-12,500
11	25,343	14,230	-12,500
12	30,676	16,261	-12,500
13	31,798	16,670	-17,500
14	25,343	14,230	-17,500
15	19,376	12,148	-17,500
16	11,093	9,133	-17,500
17	2,254	5,947	-17,500
18	2,254	5,946	-21,301
19	11,093	9,133	-21,602
20	19,376	12,148	-21,602
21	25,343	14,230	-21,602
22	31,853	15,689	-21,602
23	28,439	19,087	-21,602
24	31,853	15,689	-23,712
25	31,853	15,689	-23,712
26	25,343	14,230	-25,712
27	19,376	12,148	-25,712
28	25,343	14,230	-31,610
29	31,853	15,689	-31,610
30	31,853	15,689	-31,610
31	31,853	15,689	-37,500
32	31,853	15,689	-37,500
33	26,117	14,602	-37,500
34	31,853	16,689	-42,500
35	31,853	15,336	-42,500
36	39,123	19,336	-47,500
37	32,209	16,819	-47,500
38	32,729	17,008	-51,999
39	29,123	19,336	-51,999
40	32,729	17,008	-51,999

PŘÍLOHA číslo 15
=====



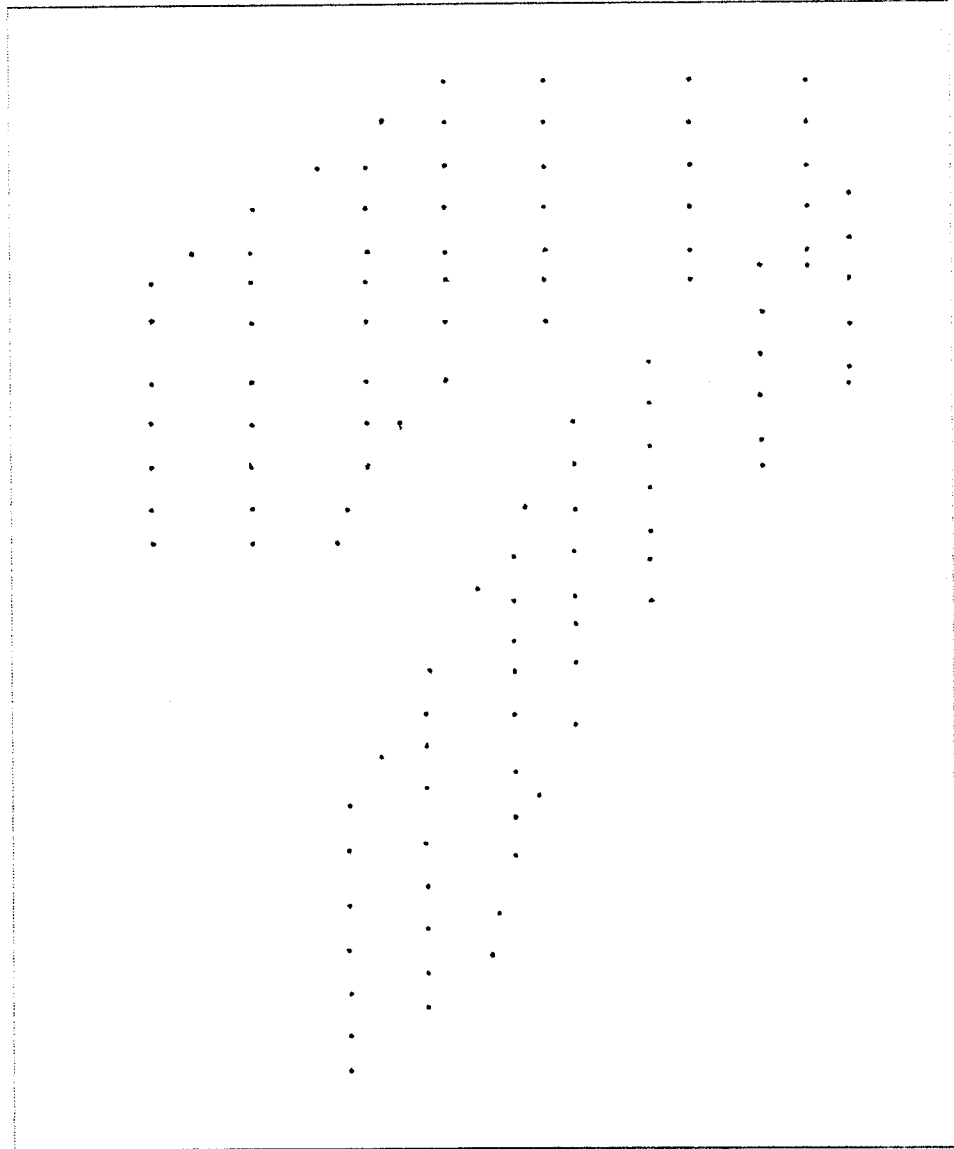
Model formy

Obr. 5.1



Rucne modelovana sit

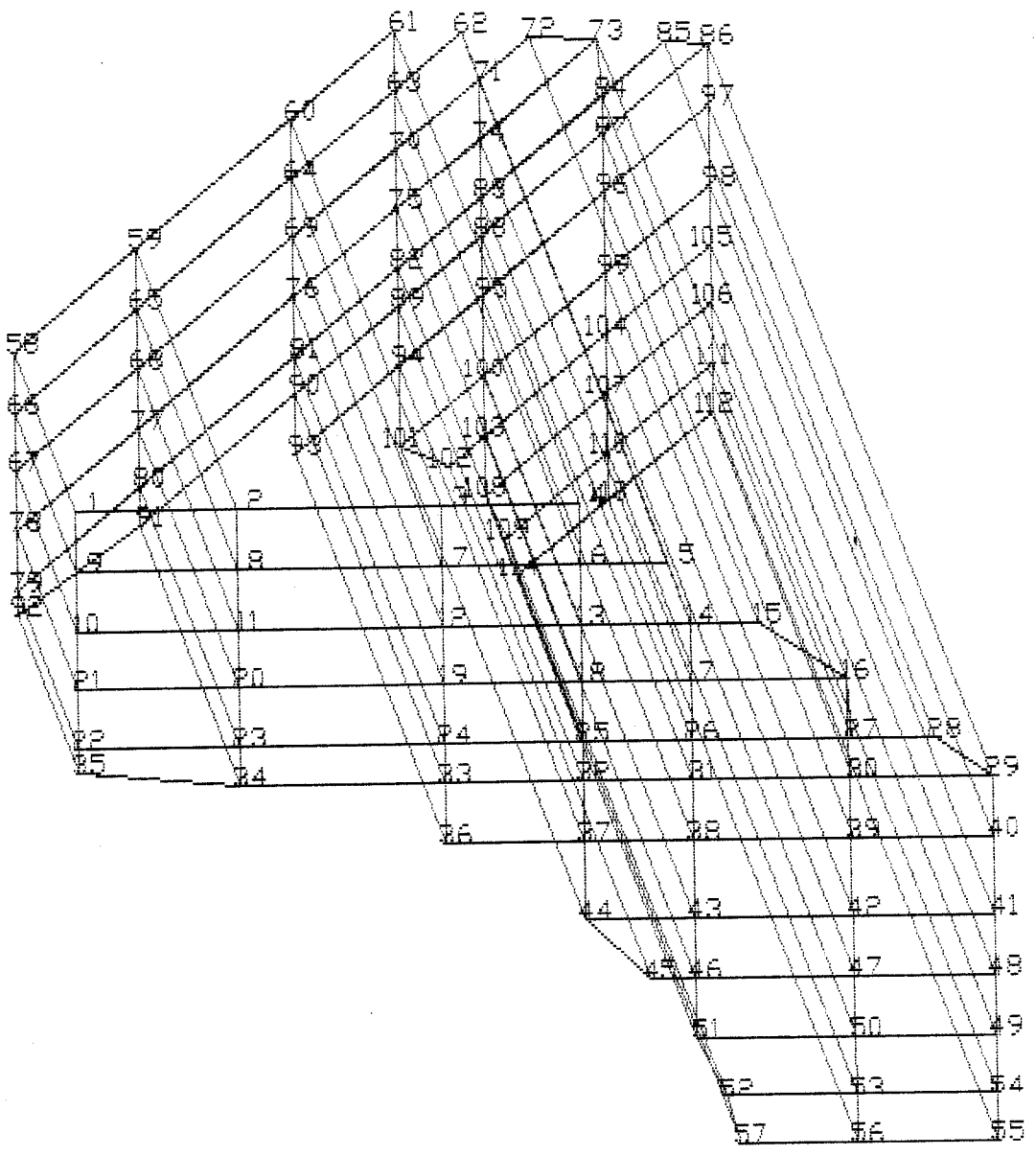
Obr. 5.2



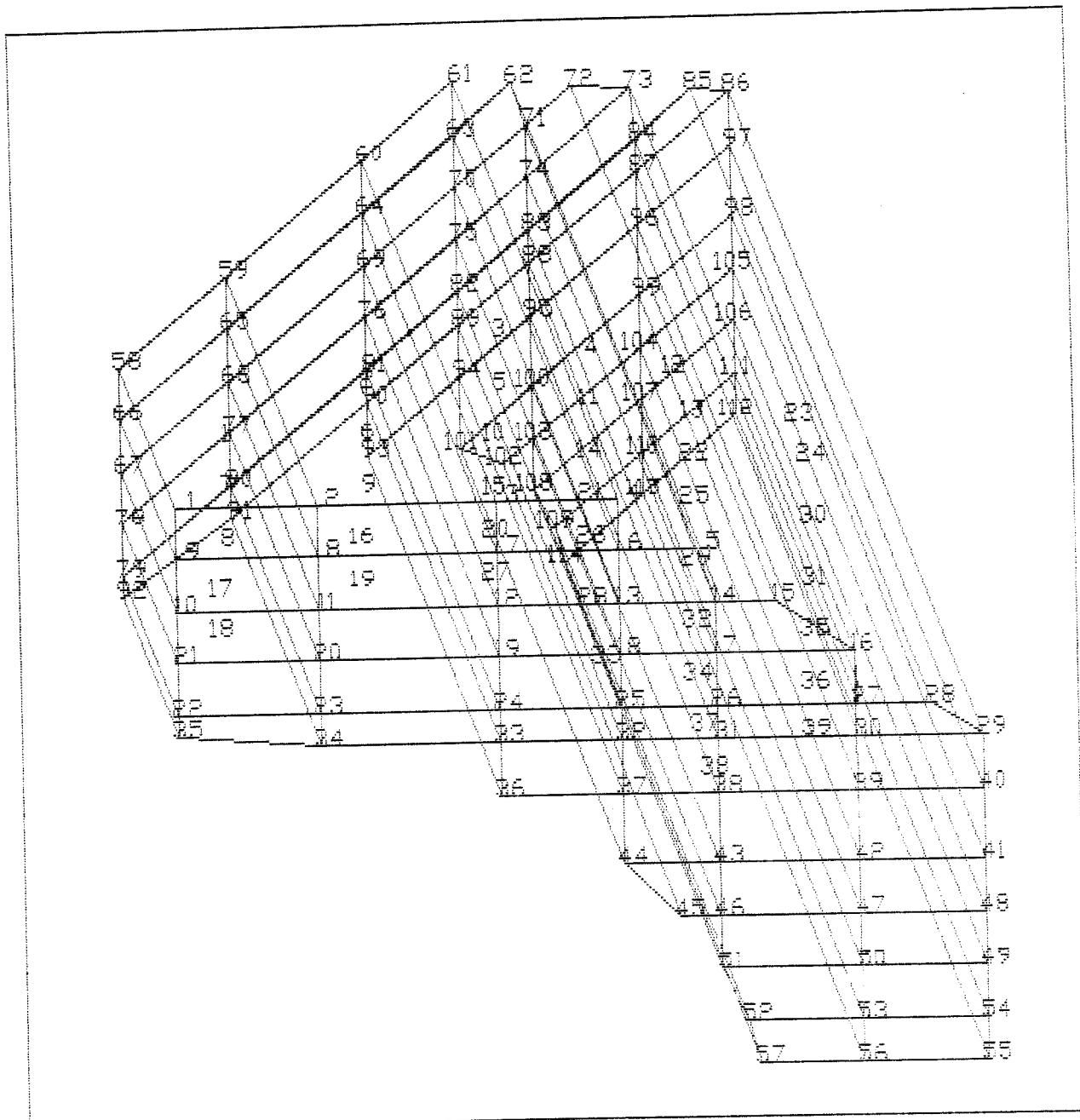
Obr. 5.3

		61	62	78	73	55	86
		60	63	71	84	97	
		64	70	74	87		
		68	75	83	96	98	
		69	68	88	99	105	
		76	62	95	104	106	
		65	76	99	107	111	
58	68	61	94	100	107	112	
66	77	50	101	103	110		
67	60	93	102	108	113		
78	71	2	3	408			
		2	7	109			
		8	114	116			
		9		10			
79	10	11	12	13	14	15	
80	21	20	19	18	17	16	
81	29	24	25	26	27	28	29
82	34	33	32	31	30	31	32
		36	37	36	35	34	33
			44	43	42	41	
			45	46	47	46	
			51	50	49		
			52	53	54		
			57	56	55		

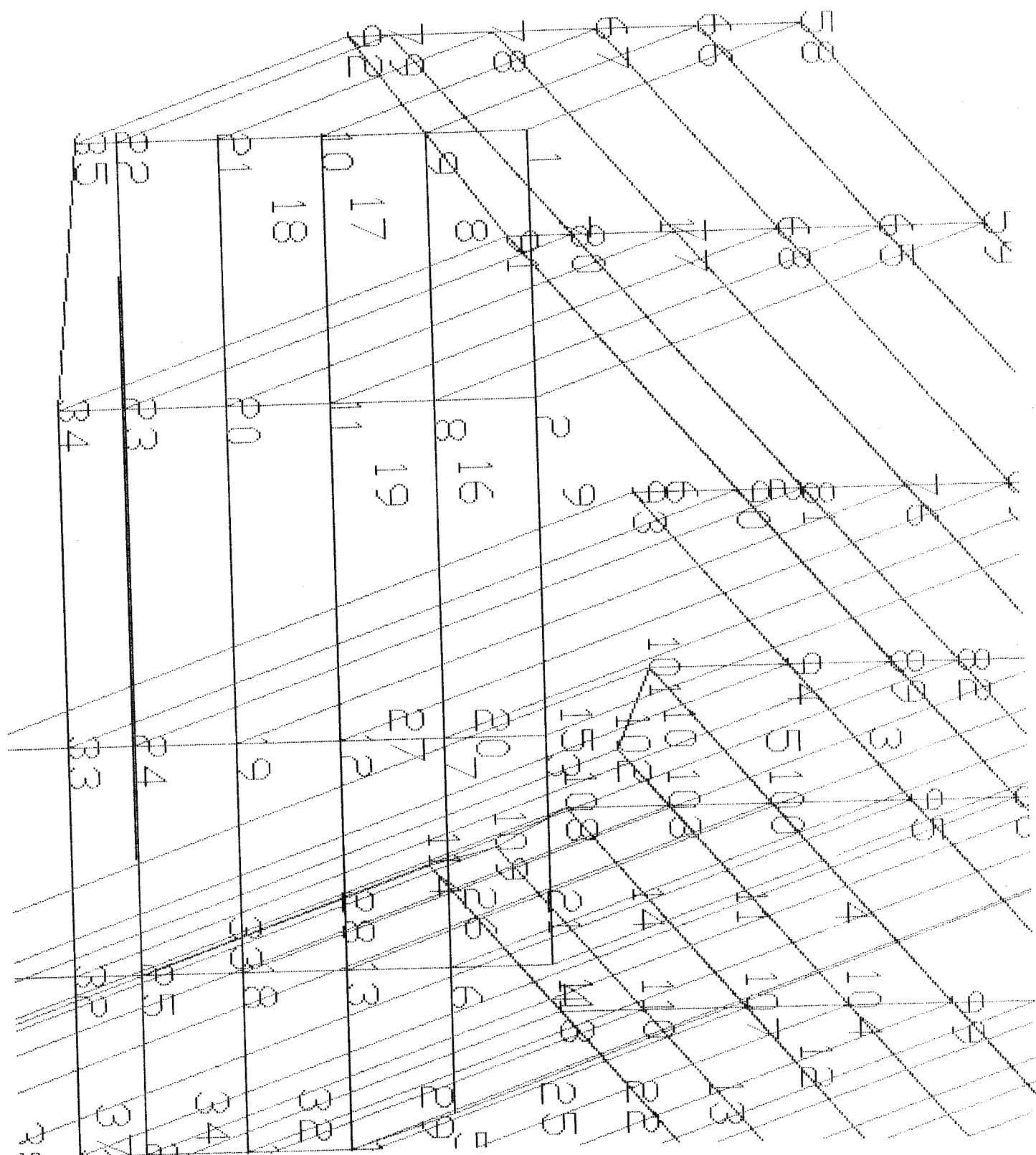
Obr. 5.4



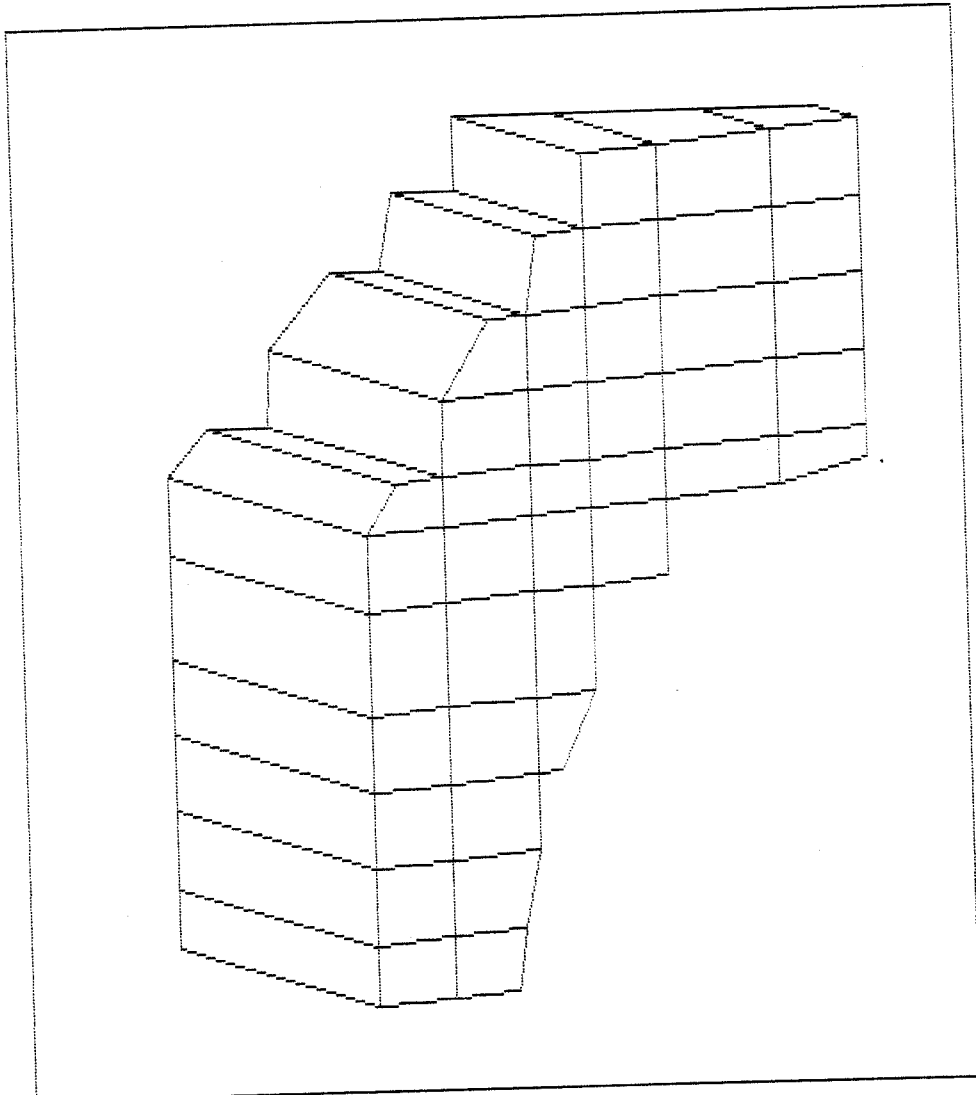
Obr.5.4



Obr. 5.5



Detail obr.5.5



Obr. 5.6